

# Экология

---

Лекция 22

# Лесостепи



© M. G. Sergeev, 2006



Лесостепи

Залежная сукцессия  
(1999 г. — поле овса)

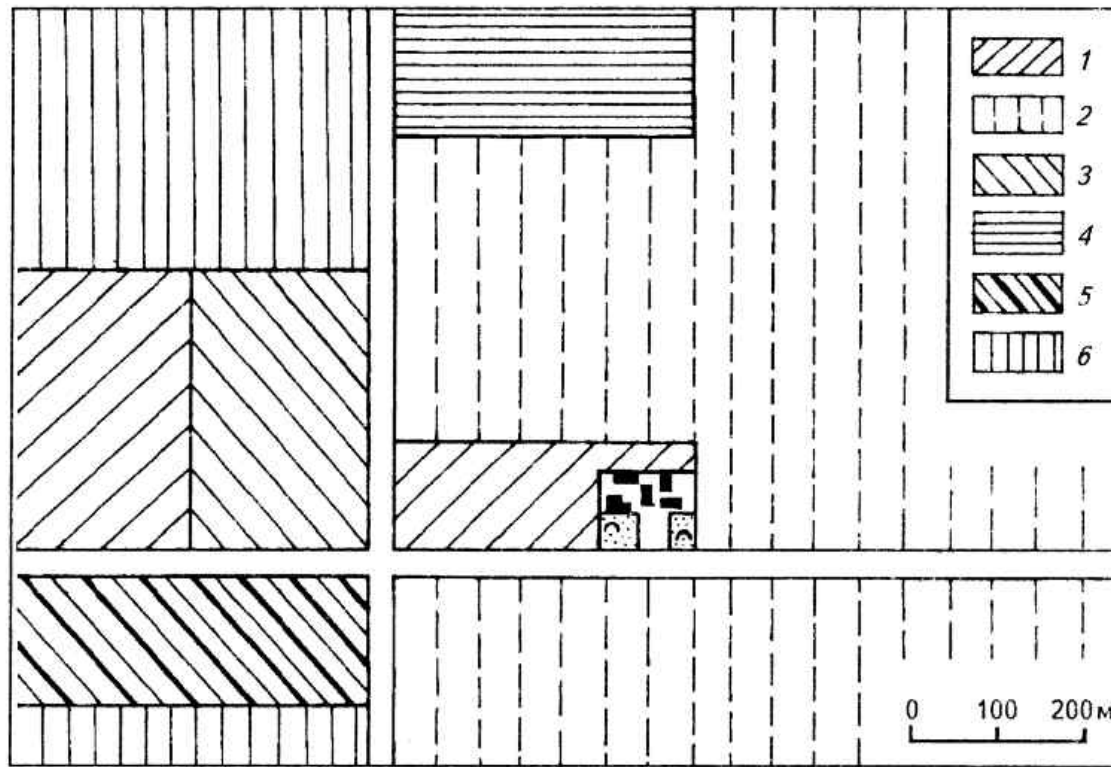
3-й год



7-й год

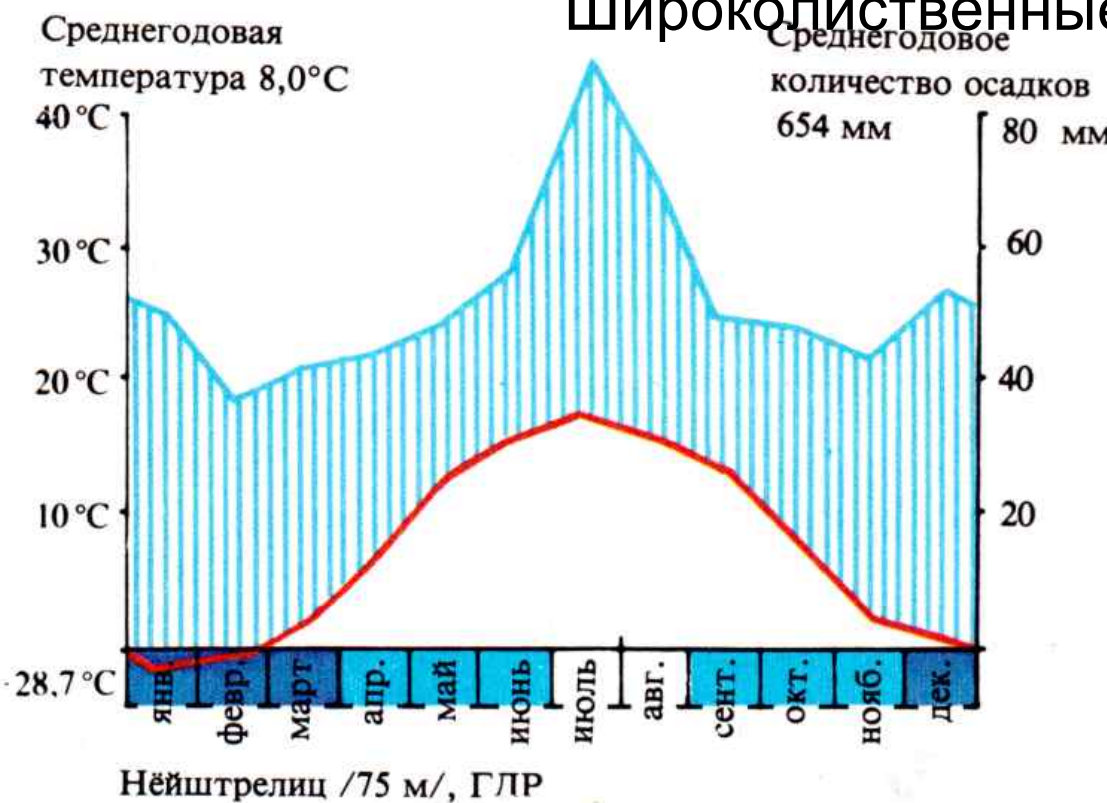
# Прерии





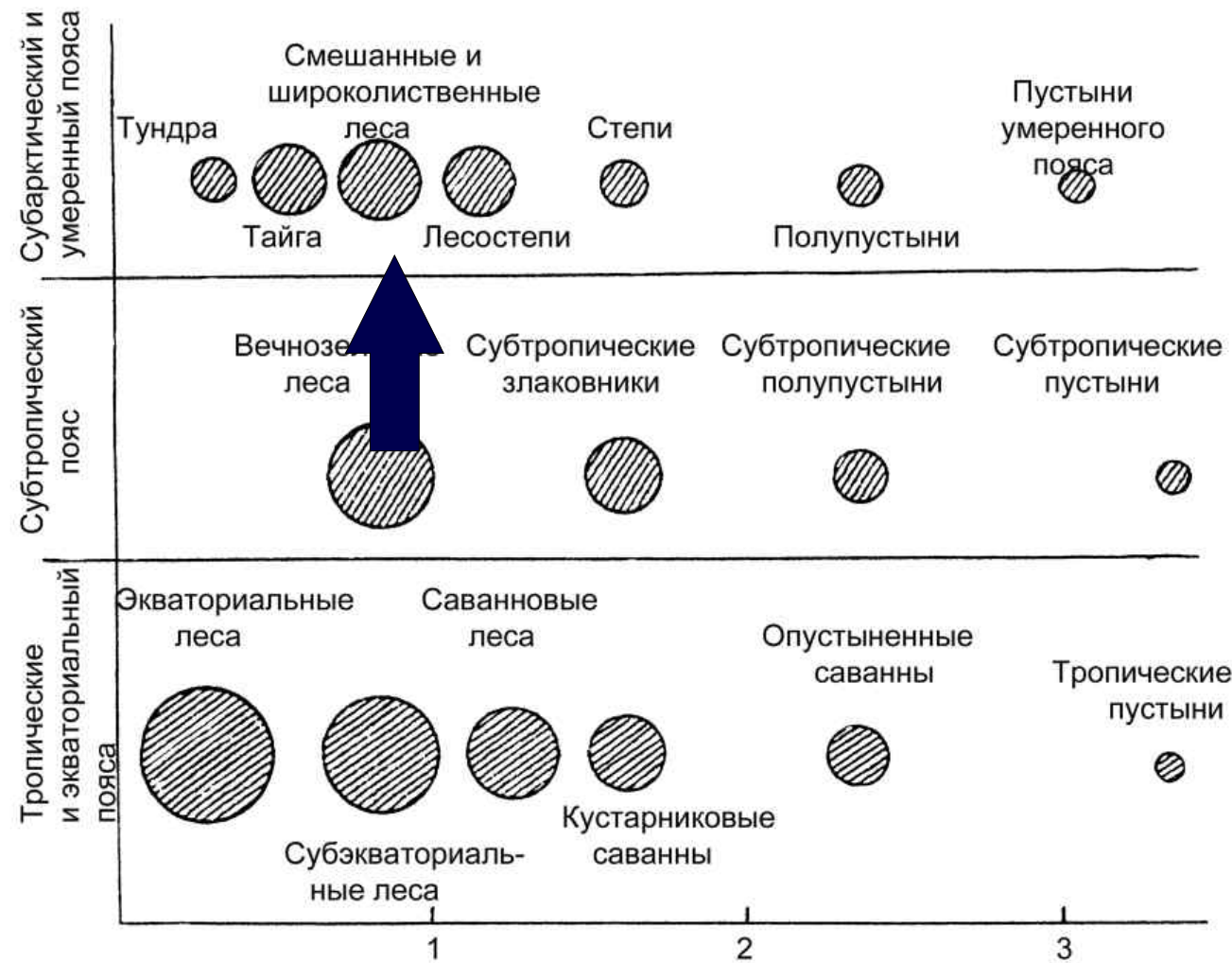
*Рис. 3.33. План пшеничной фермы в прериях (Северная Америка, Канзас) [50]:  
1 — овес; 2 — пшеница; 3 — рожь; 4 — кукуруза; 5 — ячмень; 6 — луга*

## Широколиственные леса



Биомасса — 200-540 т/га, в том числе зоомасса — 110-1500 кг/га, продукция — 2-23 т/га в год, опад — 6,5 т/га, средняя продолжительность сукцессии — 150-300 лет, почвы — бурые лесные, серые лесные, запас гумуса (в верхних 50 см) — 80-300 т/га

# Широколиственные леса

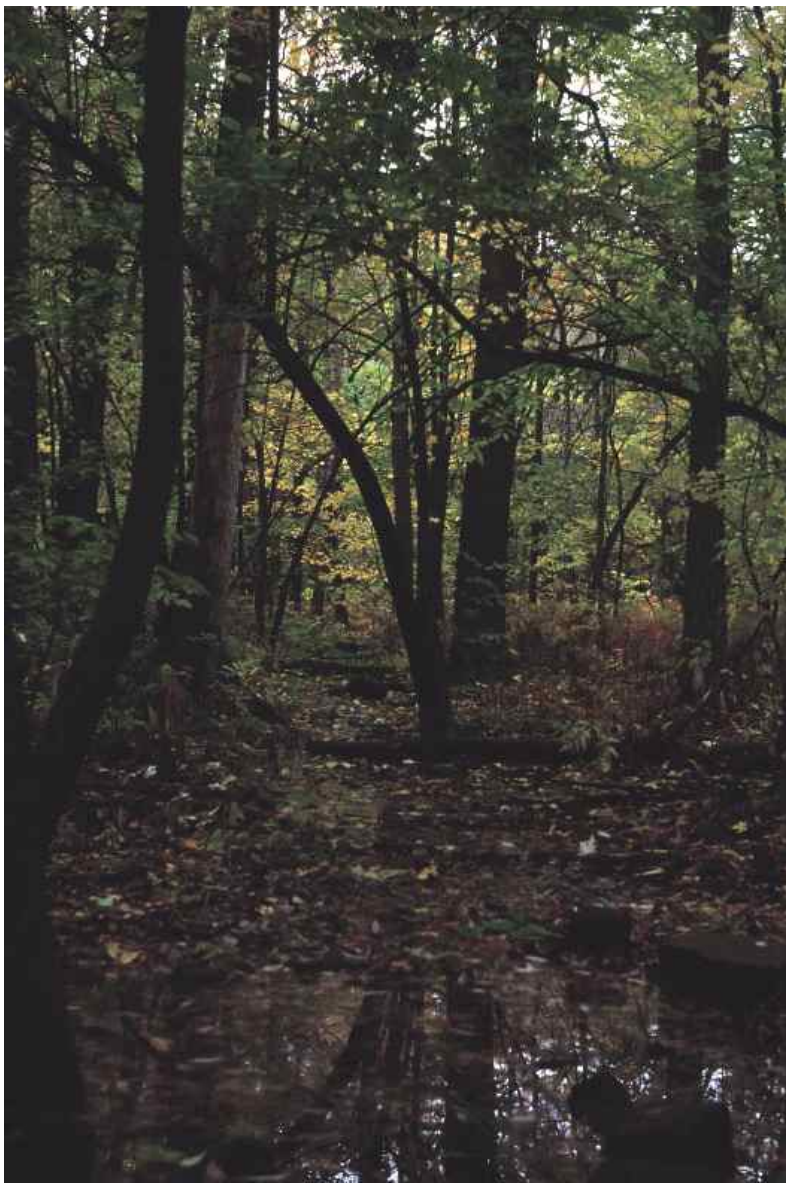


## Широколиственные леса



© M. G. Sergeev, 2006

## Широколиственные леса

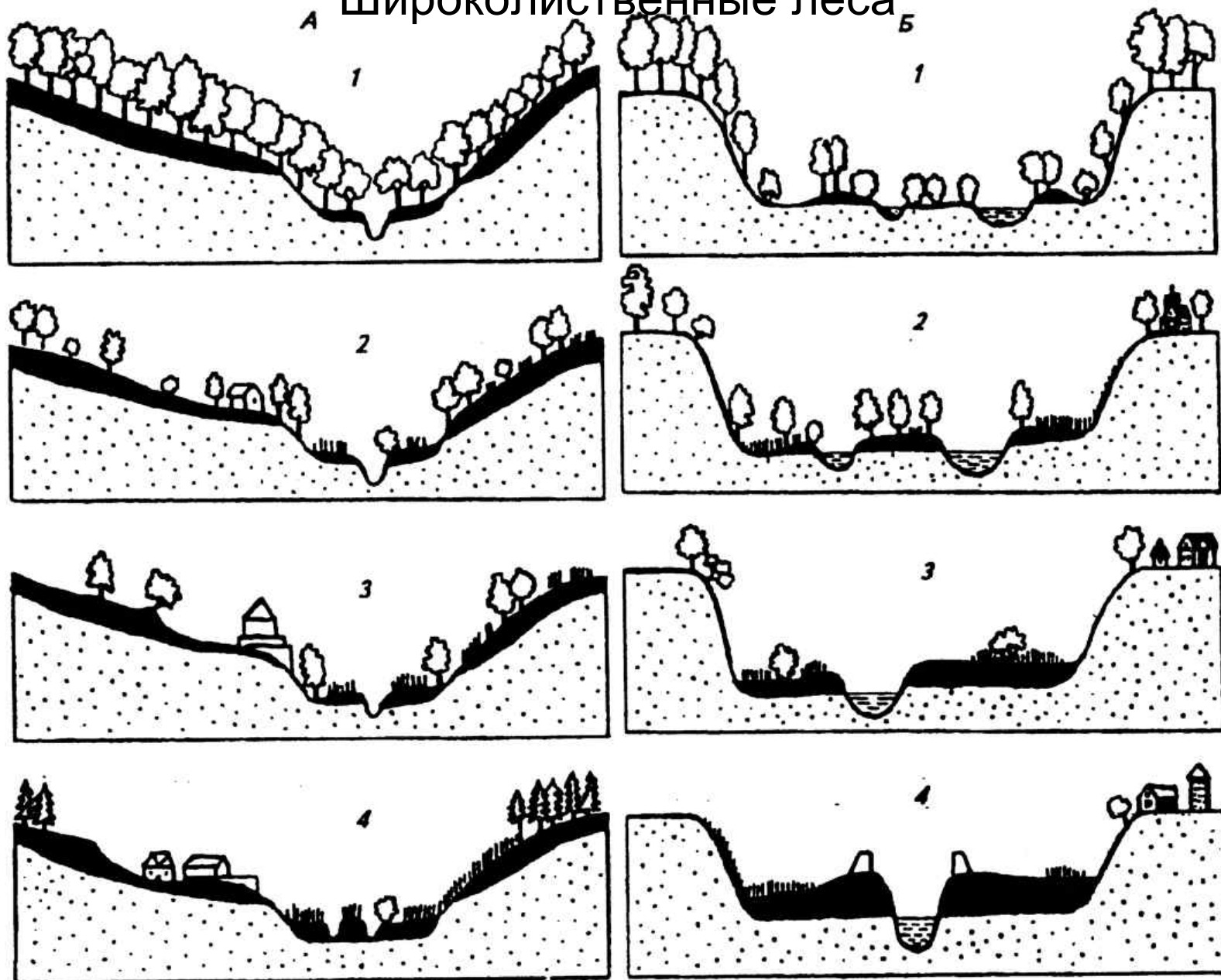


# Широколиственные леса



© M. G. Sergeev, 2006

## Широколиственные леса



# Широколиственные леса

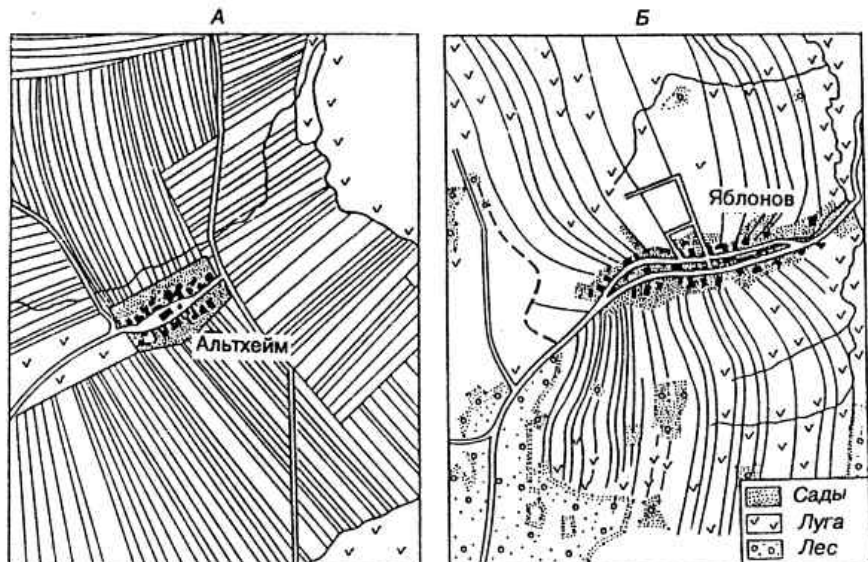


Рис. 3.42. Разные типы сельских антропогенных ландшафтов (Центральная Европа) [48]:

*А* — исходно безлесные территории; *Б* — лесные территории

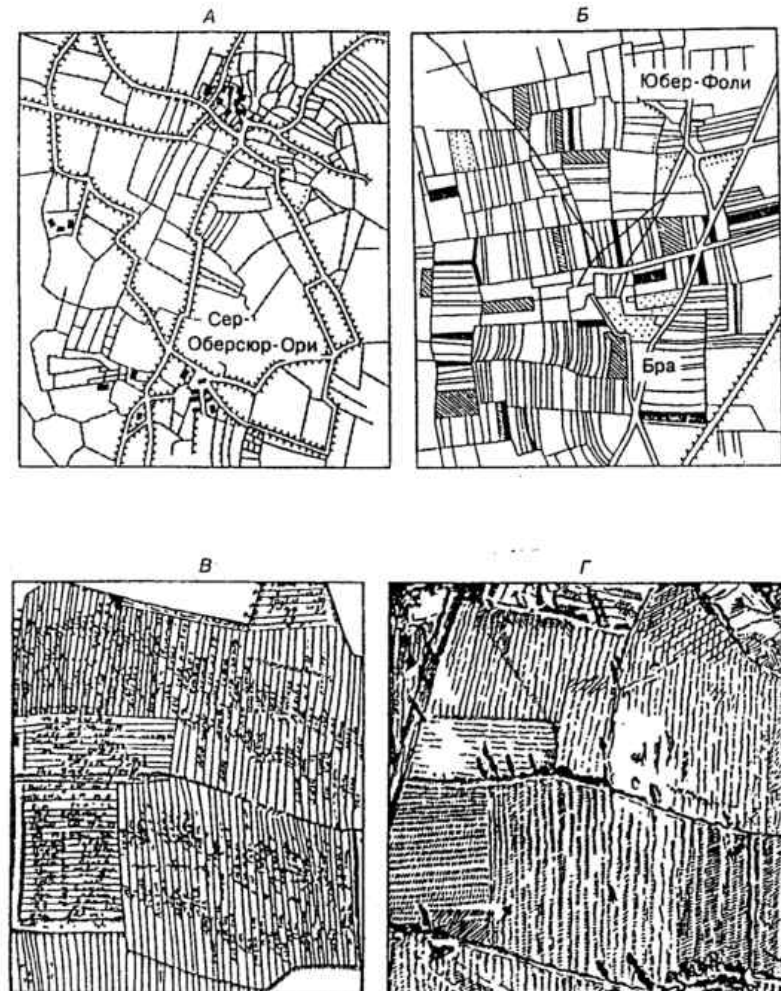


Рис. 4.4. Унаследованность структуры средневекового земледельческого ландшафта [48].

*А* — ландшафт бокажа с полями неправильной конфигурации и живыми изгородями (Нормандия, план XVIII в.);  
*Б* — ландшафт разнини с открытыми вытянутыми полями (Нормандия, план XVIII в.); *В* — система открытых полей с бороздами и насыпями (Англия, план 1593 г.); *Г* — современный аэрофотоснимок того же участка

# Широколиственные леса

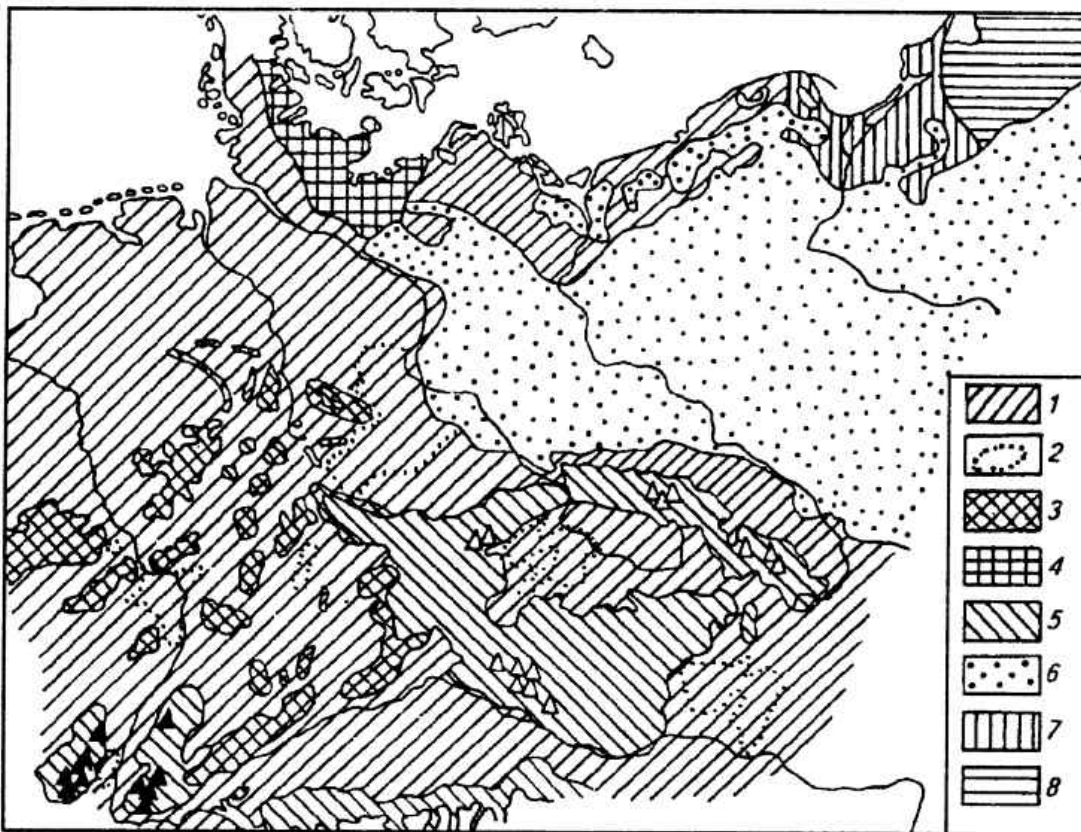


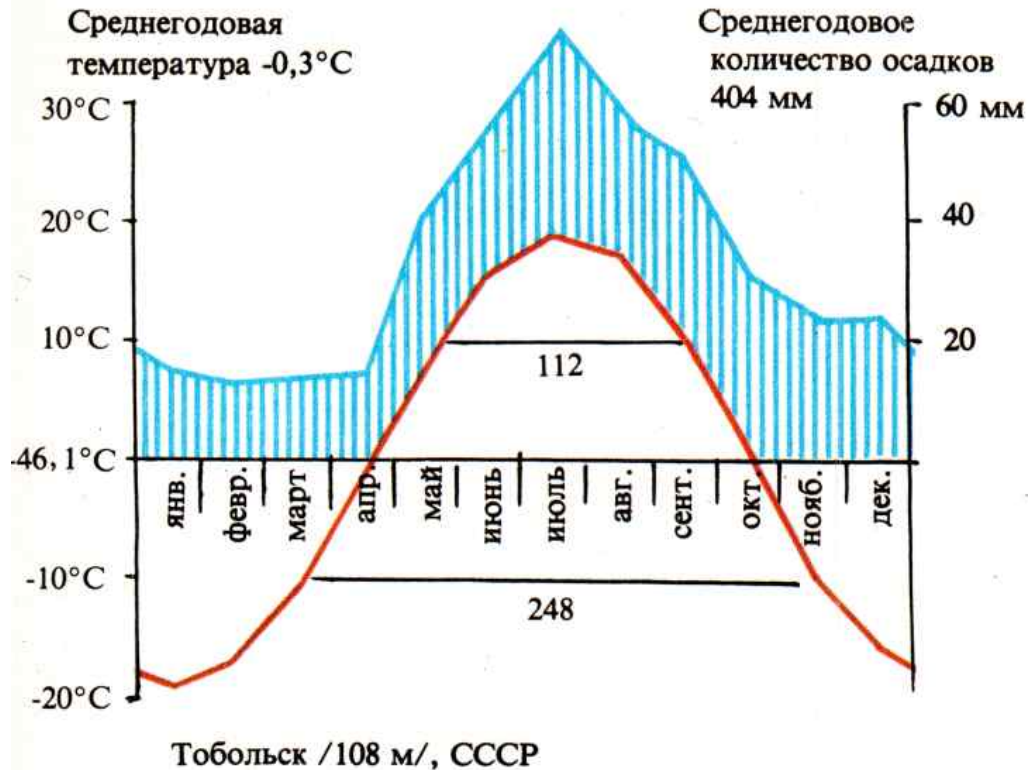
Рис. 4.3. Распространение лесов Центральной Европы перед началом нашей эры (реконструкция по данным пыльцевых анализов) [12].

1 — смешанные леса с буком и дубом; 2 — засушливые области без бука; 3 — горные буковые леса; 4 — буковые леса с примесью сосны; 5 — горные буковые леса ( $\Delta$  — с примесью пихты и ели;  $\blacktriangle$  — субальпийские); 6 — леса с преобладанием сосны с примесью дуба; 7 — смешанные дубово-грабовые леса; 8 — то же с примесью ели, иногда с доминированием сосны

# Верещатники



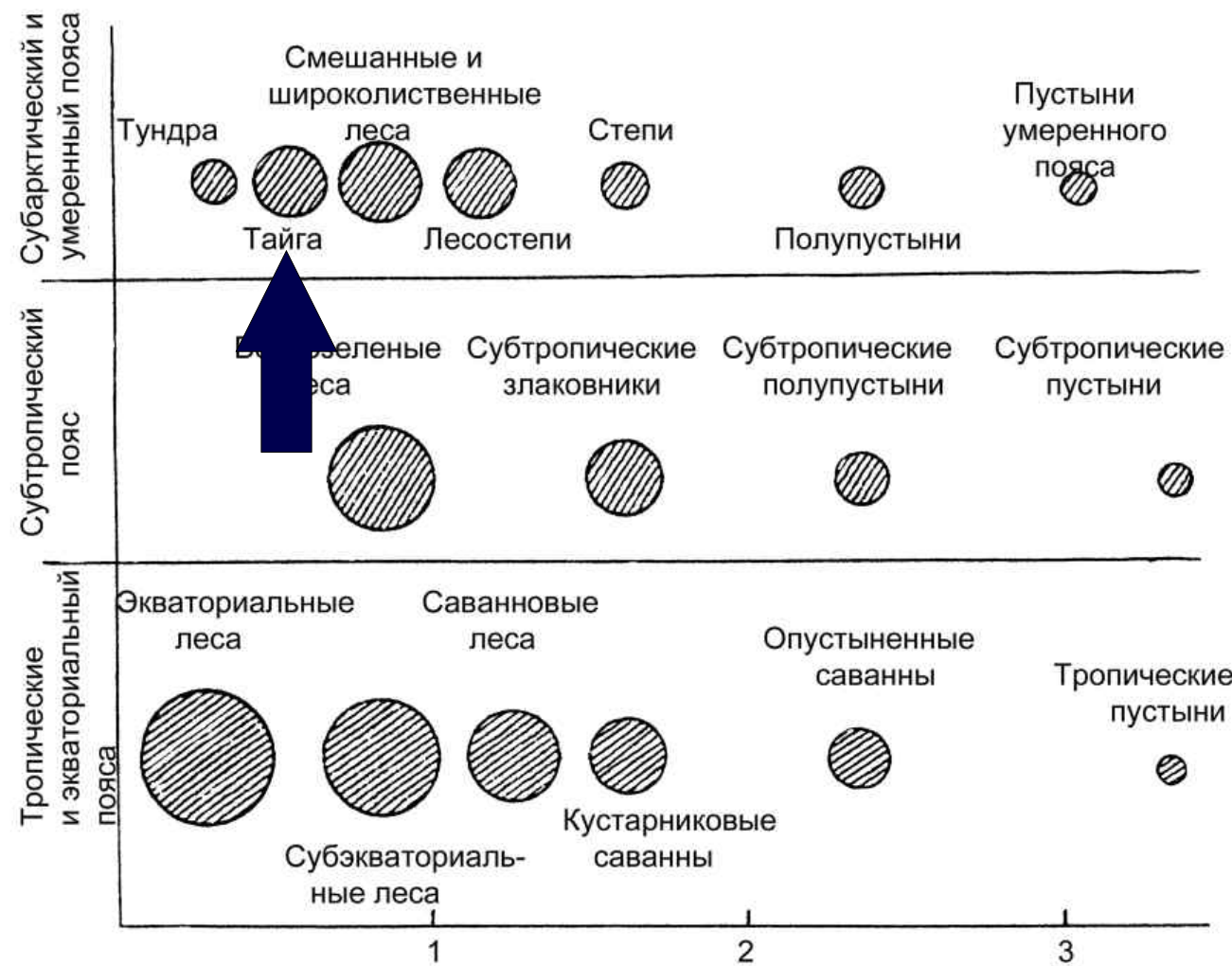
© M. G. Sergeev, 2006



## Тайга

Биомасса — 200-350 т/га,  
в том числе зоомасса — 100-320 кг/га,  
продукция — 7-10 т/га в год,  
опад — 3,5-5,5 т/га,  
средняя продолжительность сукцессии — 300-500 лет,  
почвы — подзолистые, мерзлотно-таежные,  
запас гумуса (в верхних 50 см) — 30-310 т/га

# Тайга

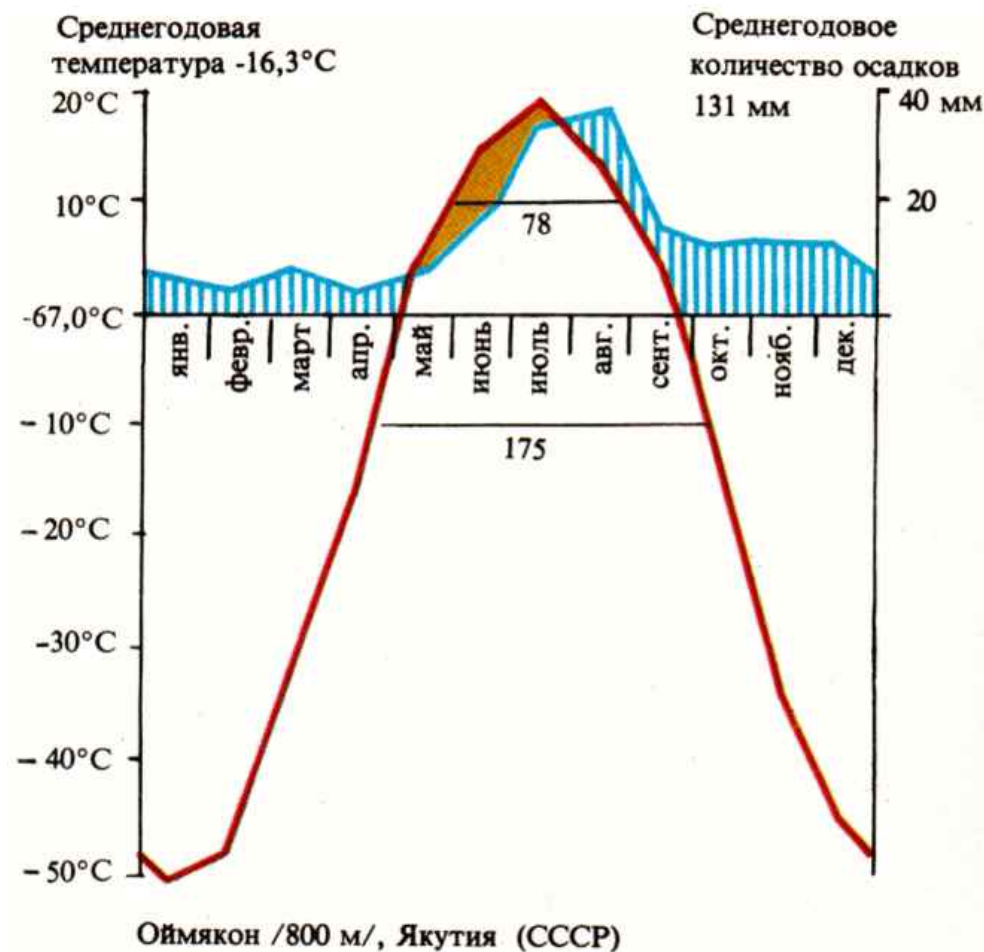


# Тайга



© M. G. Sergeev, 2006

# Тайга

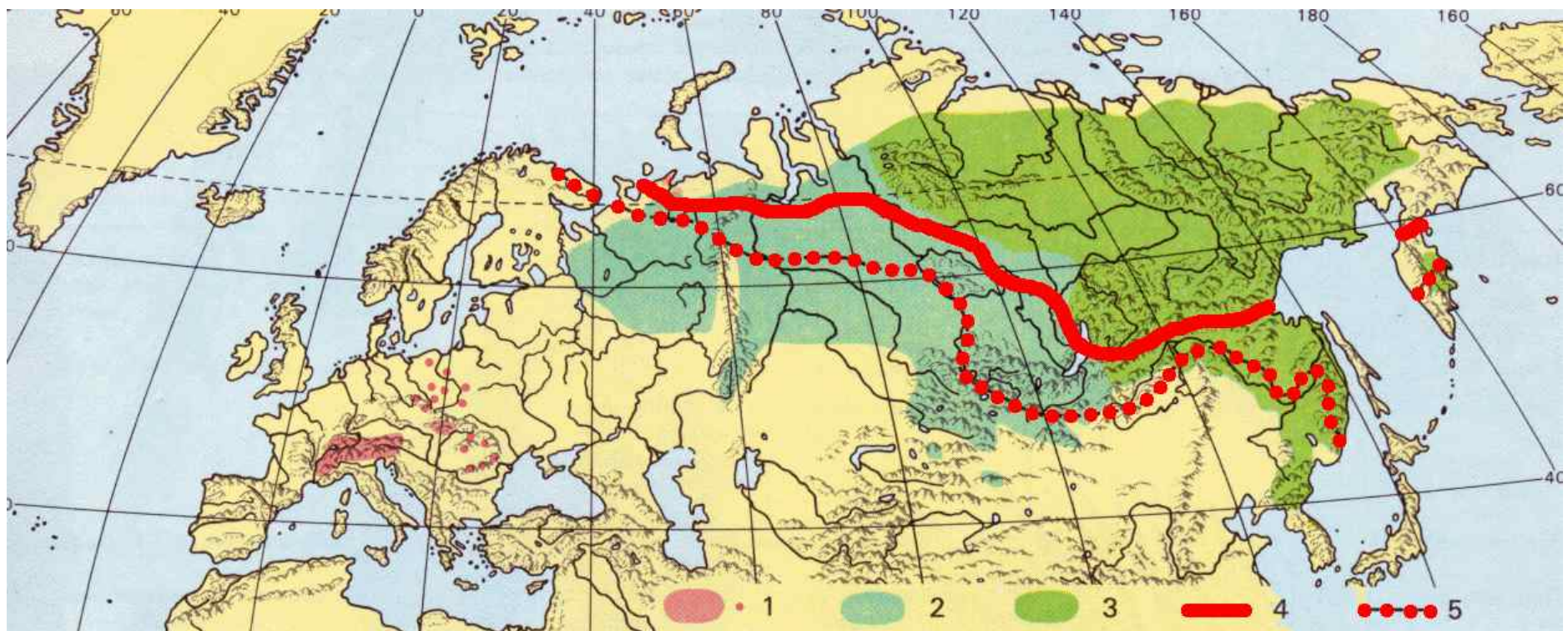


(Из “Растительный мир Земли”, т. 2, 1982

© M. G. Sergeev, 2006

# Тайга

## Распространение многолетней мерзлоты



(Из “Растительный мир Земли”, т. 2, 1982)

© M. G. Sergeev, 2006

# Тайга

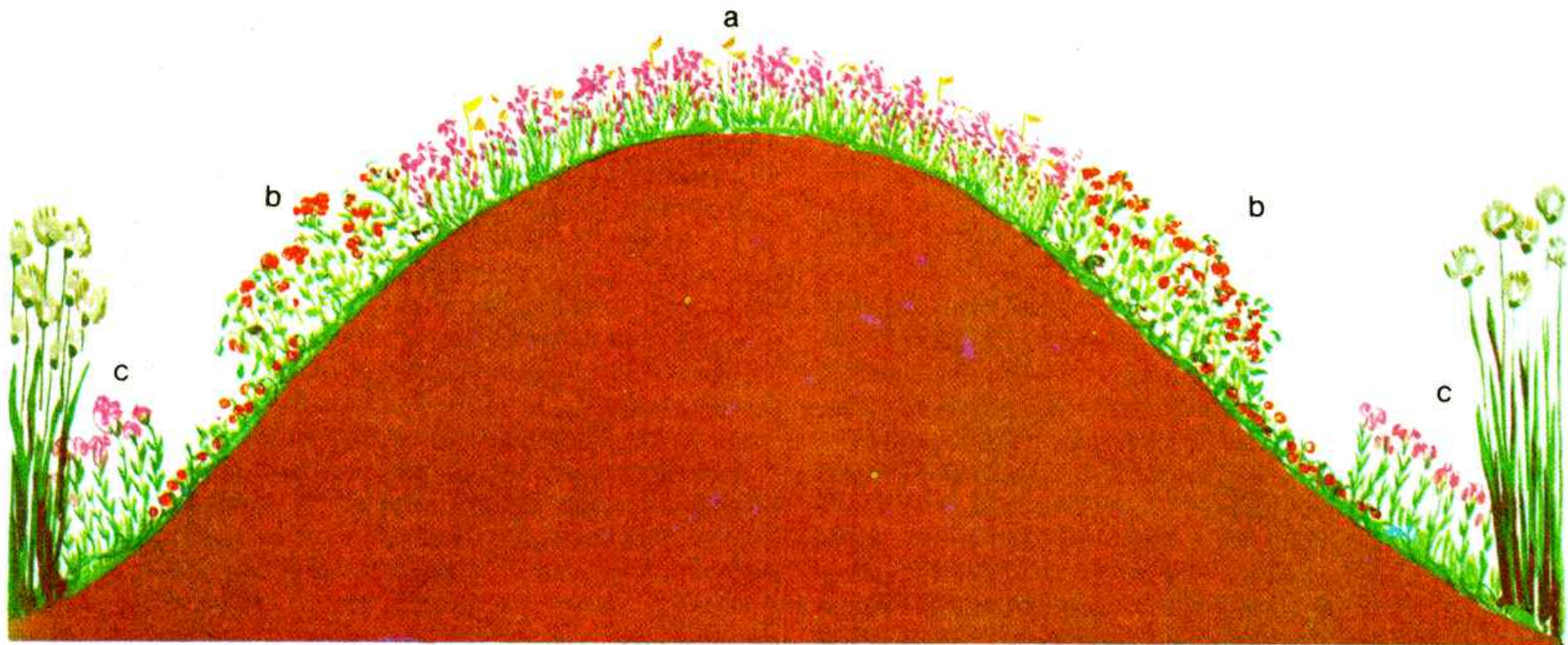


*Светлохвойная тайга*

*Темнохвойная тайга*

# Тайга

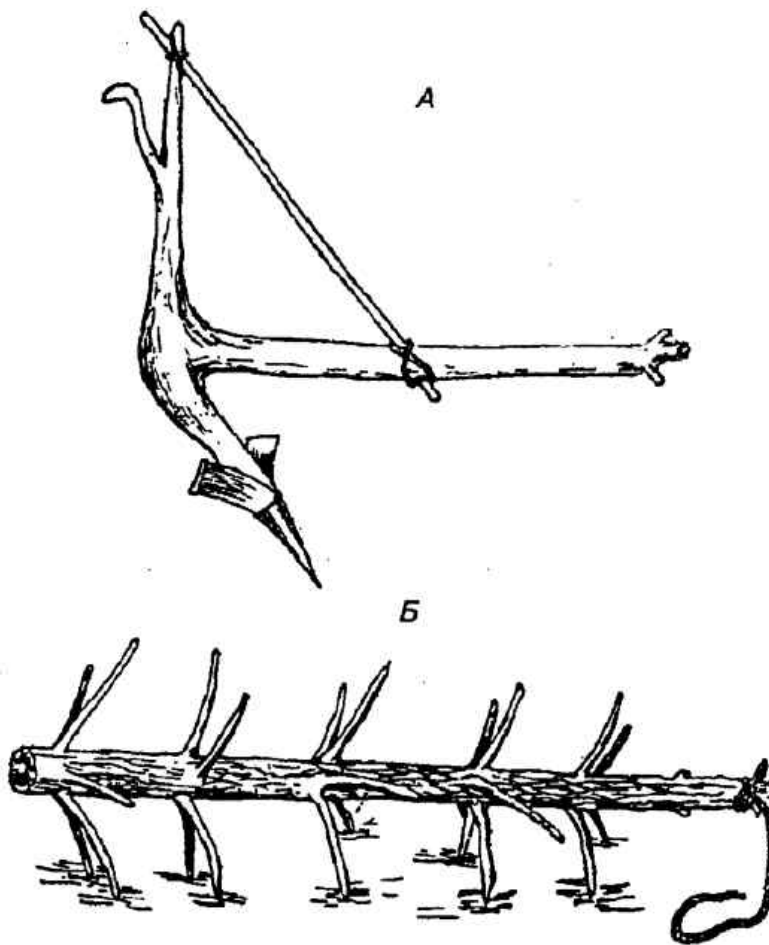
## Верховое болото



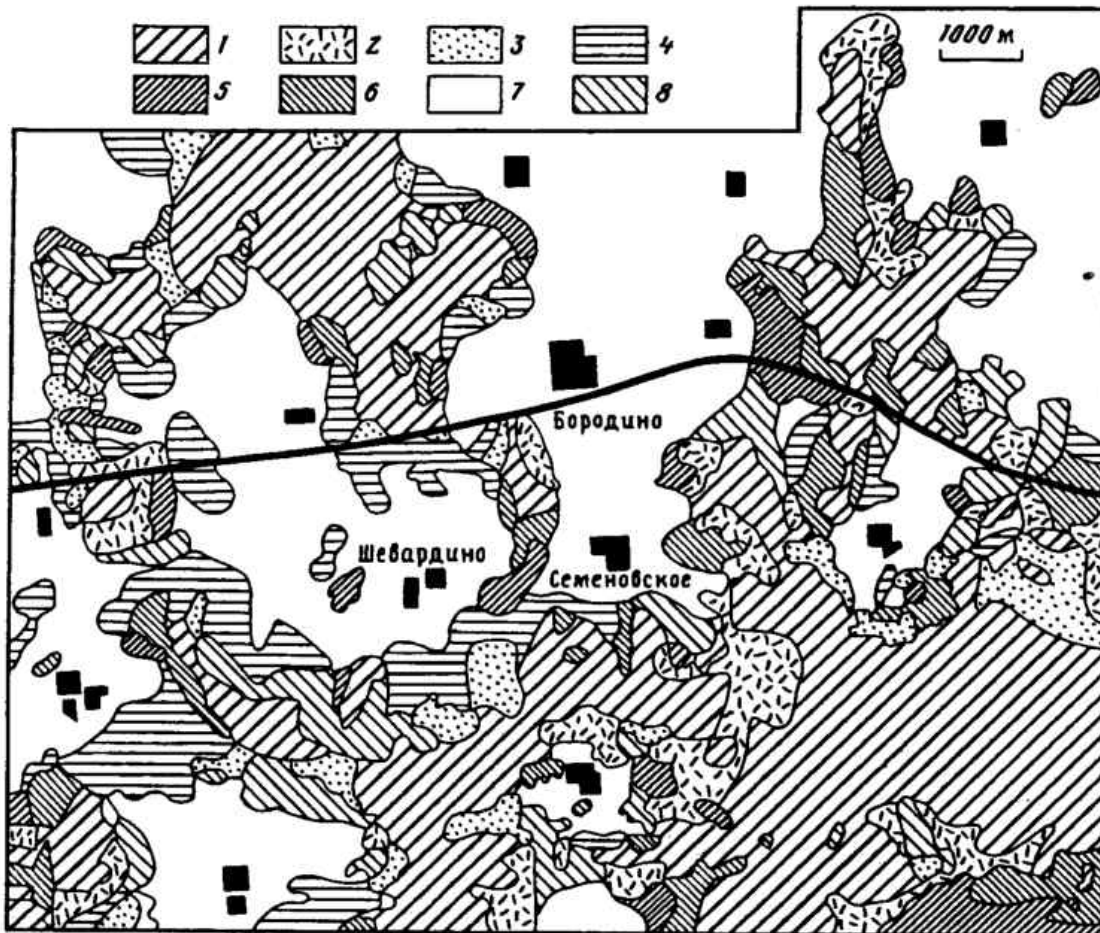
(Из “Растительный мир Земли”, т. 2, 1982

© M. G. Sergeev, 2006

# Тайга



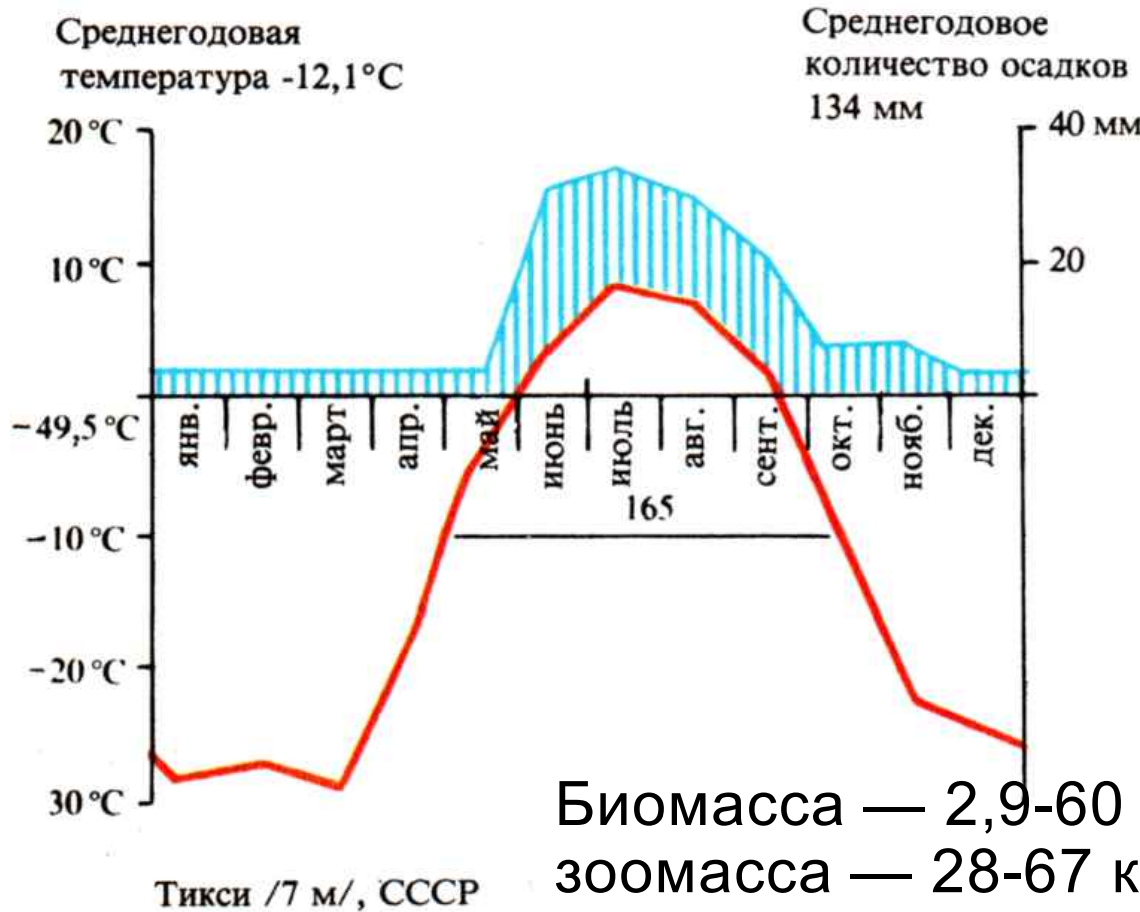
# Тайга



Карта исторической динамики угодий территории музея-заповедника "Бородинское поле"

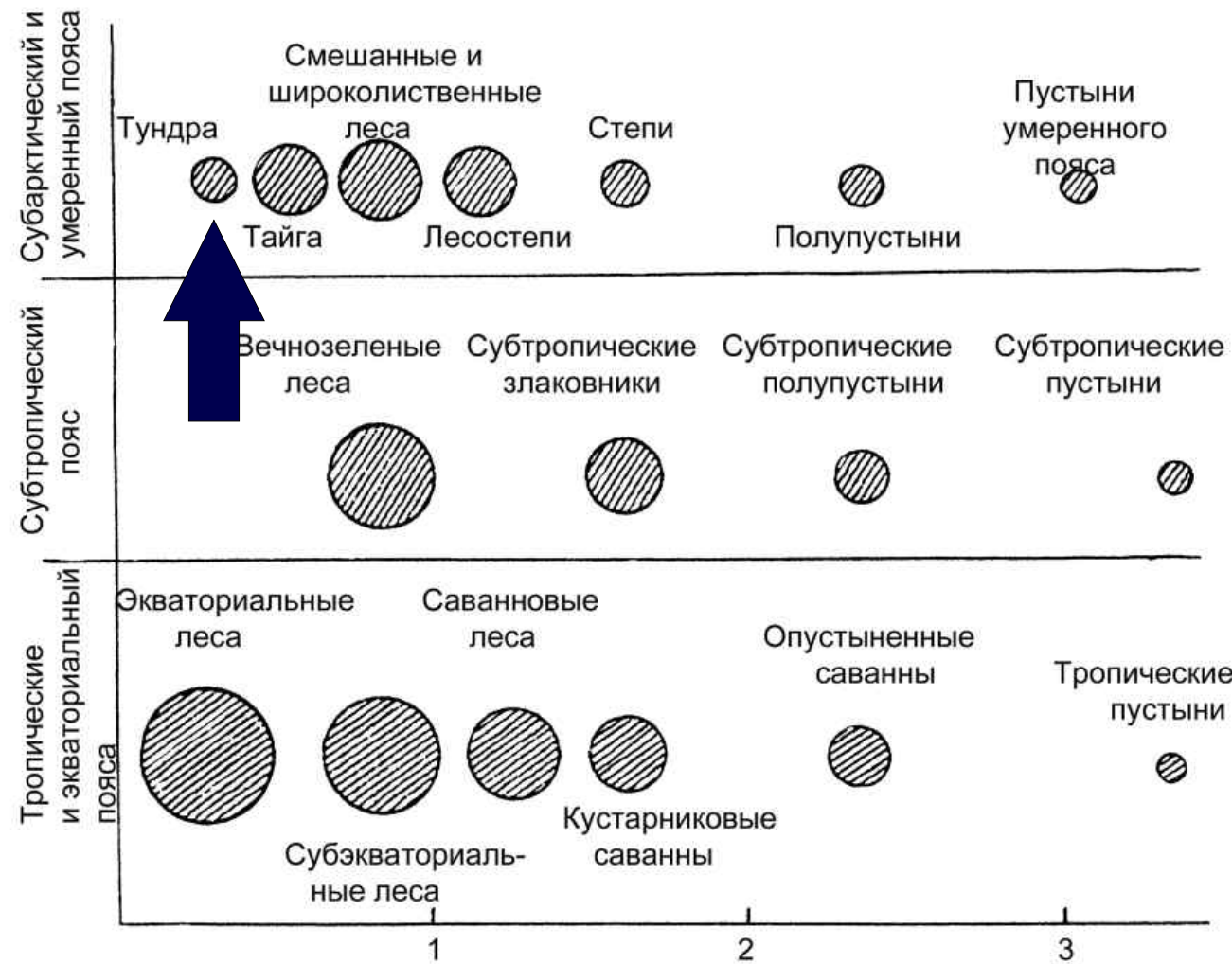
1 – лес на картах 1912, 1861, 1989 г.; 2 – пашня на картах 1812, 1861, 1989 г.; 3 – лес на картах 1812, 1861 г., пашня на карте 1989 г.; 4 – лес на карте 1812 г., пашня на карте 1861 г., лес на карте 1989 г.; 5 – пашня на картах 1812, 1861 г., лес на карте 1989 г.; 6 – пашня на карте 1812 г., лес на карте 1861 г., пашня на карте 1989 г.; 7 – пашня на карте 1812 г., лес на картах 1861, 1989 г.; 8 – лес на карте 1812 г., пашня на картах 1861, 1989 г.

## Тундры

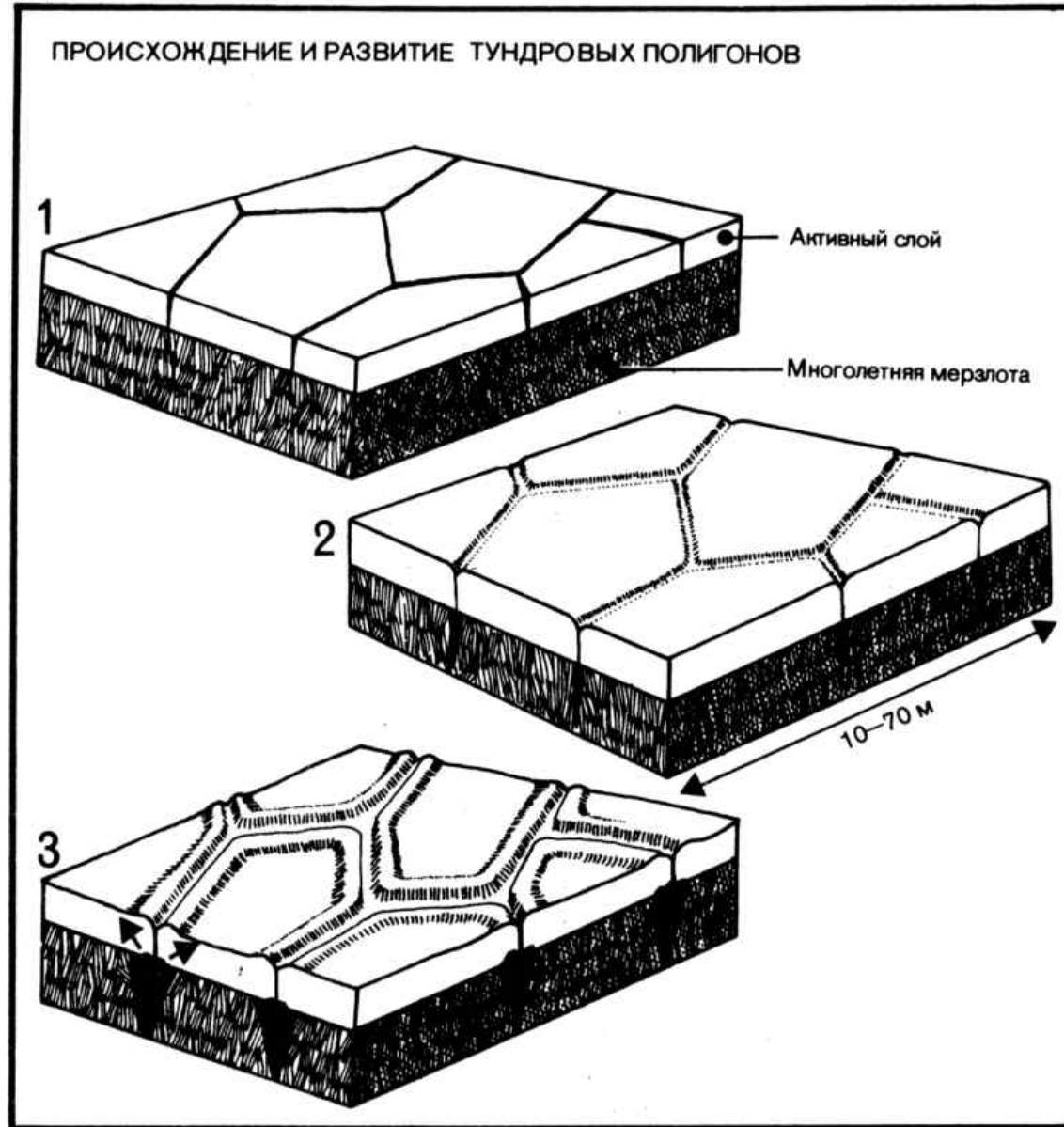


Биомасса — 2,9-60 т/га, в том числе зоомасса — 28-67 кг/га,  
продукция — 0,6-6 т/га в год,  
опад — 1,6-2 т/га,  
средняя продолжительность сукцессии —  
1000-3000 лет,  
почвы — тундровые,  
запас гумуса (в верхних 50 см) — 47-212 т/га

# Тундры



# Тундры



(Из “Неспокойный ландшафт”, 1981)

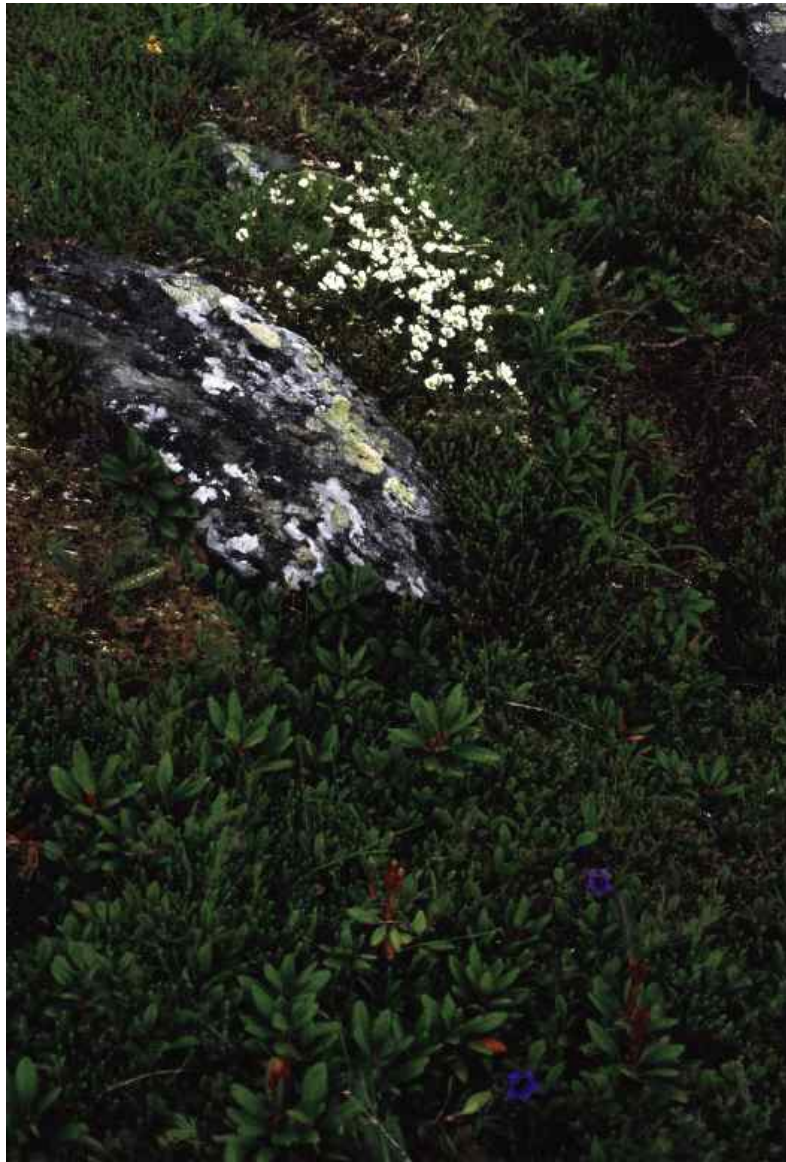
© M. G. Sergeev, 2006

# Тундры



© M. G. Sergeev, 2006

# Тундры



*Термокарст*

© M. G. Sergeev, 2006

# **Водные экосистемы**

## Основные свойства:

- Относительная слитность и монотонность
- Зональные особенности и глубинное расчленение
- Основная продукция в верхних слоях
- Общий аккумулятивный характер

# Лимнические экосистемы

## Стратификация



*Олиготрофные ↔ Евтрофные*

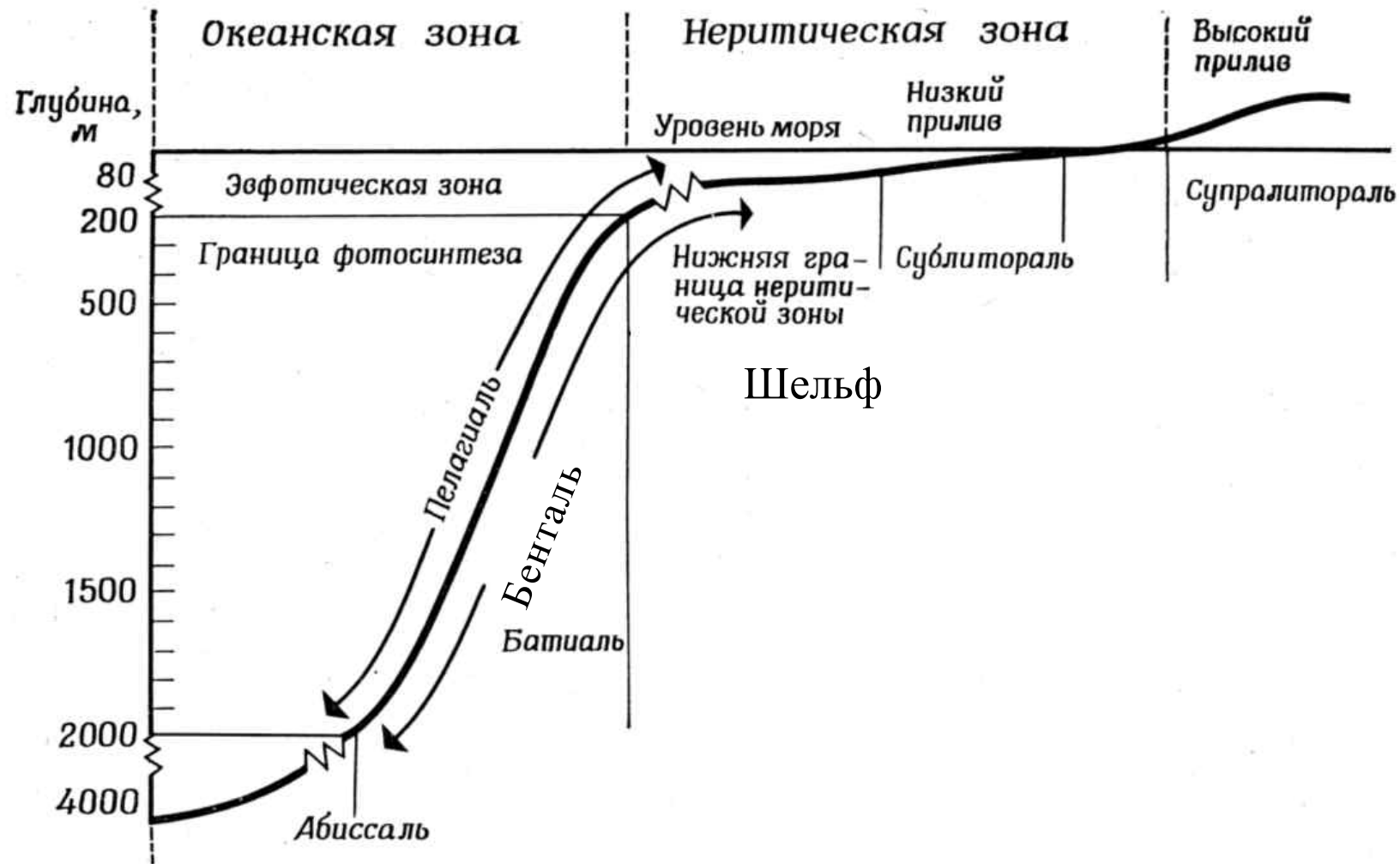
(Из Вилли, Детье, 1974)

© M. G. Sergeev, 2006

# Лотические экосистемы

Течения  
“Продольная зональность”

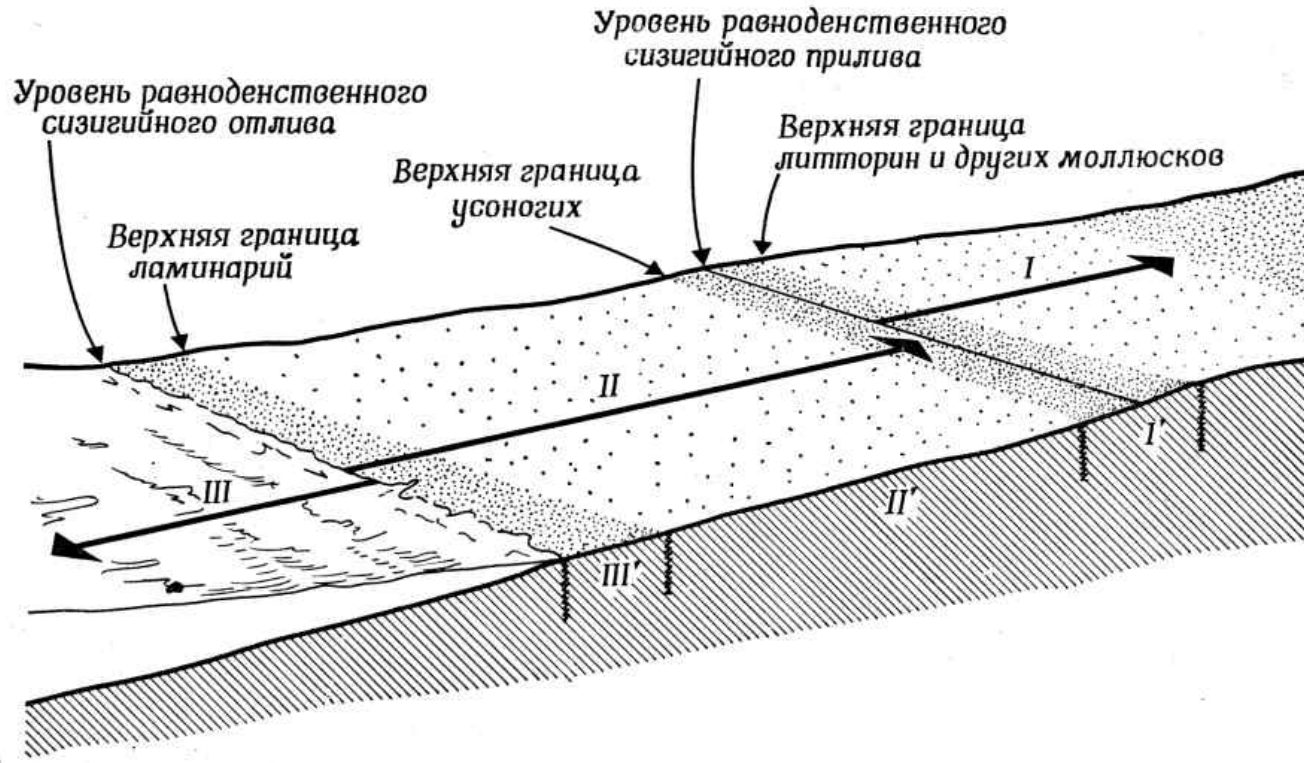
# Океанические экосистемы



(Из Вилли, Детье, 1974)

© M. G. Sergeev, 2006

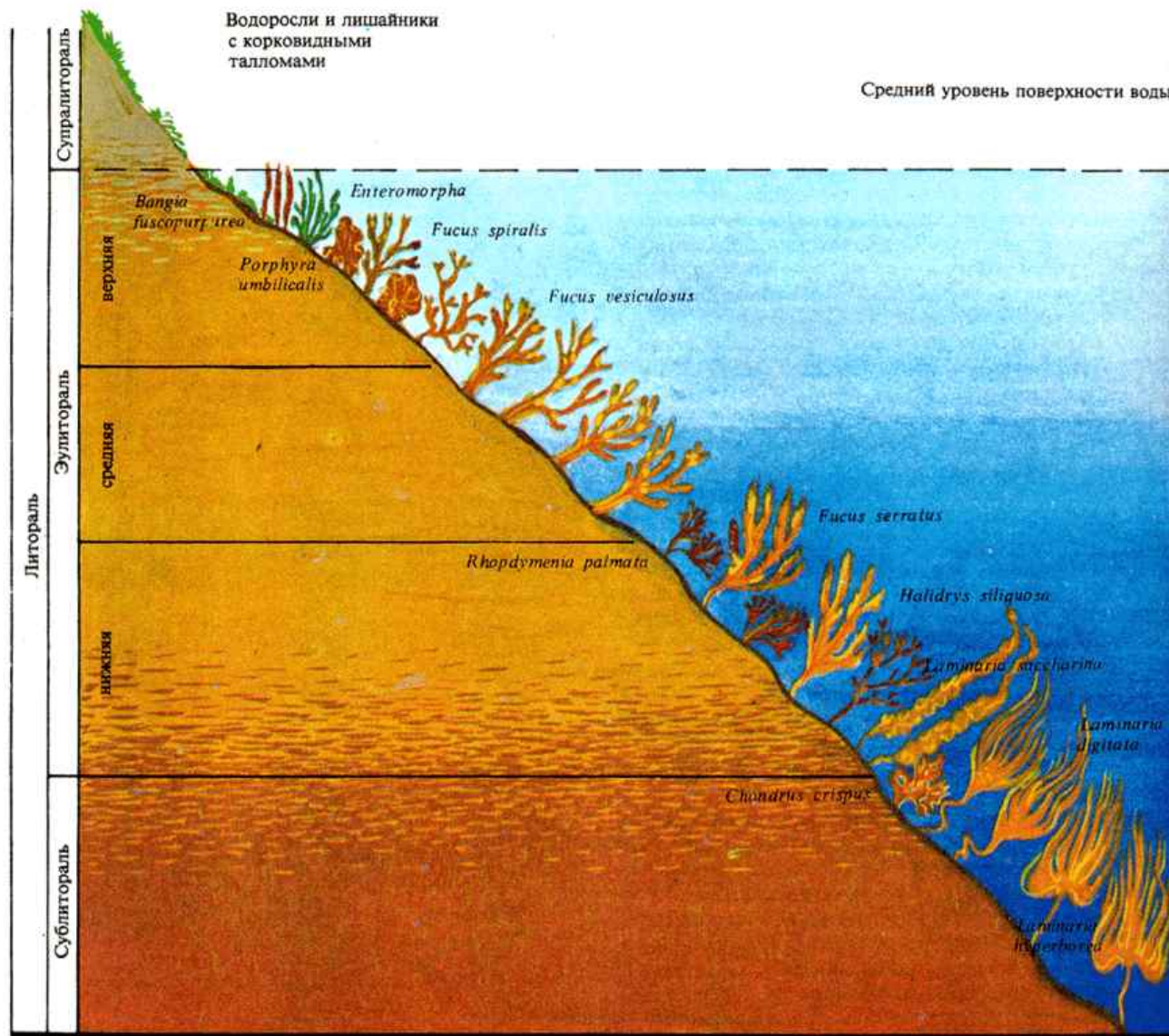
# Литораль



(Из Вилли, Детье, 1974)

© M. G. Sergeev, 2006

# Литораль



(Из “Растительный мир Земли”, т. 2, 1982)

© M. G. Sergeev, 2006

# Литораль

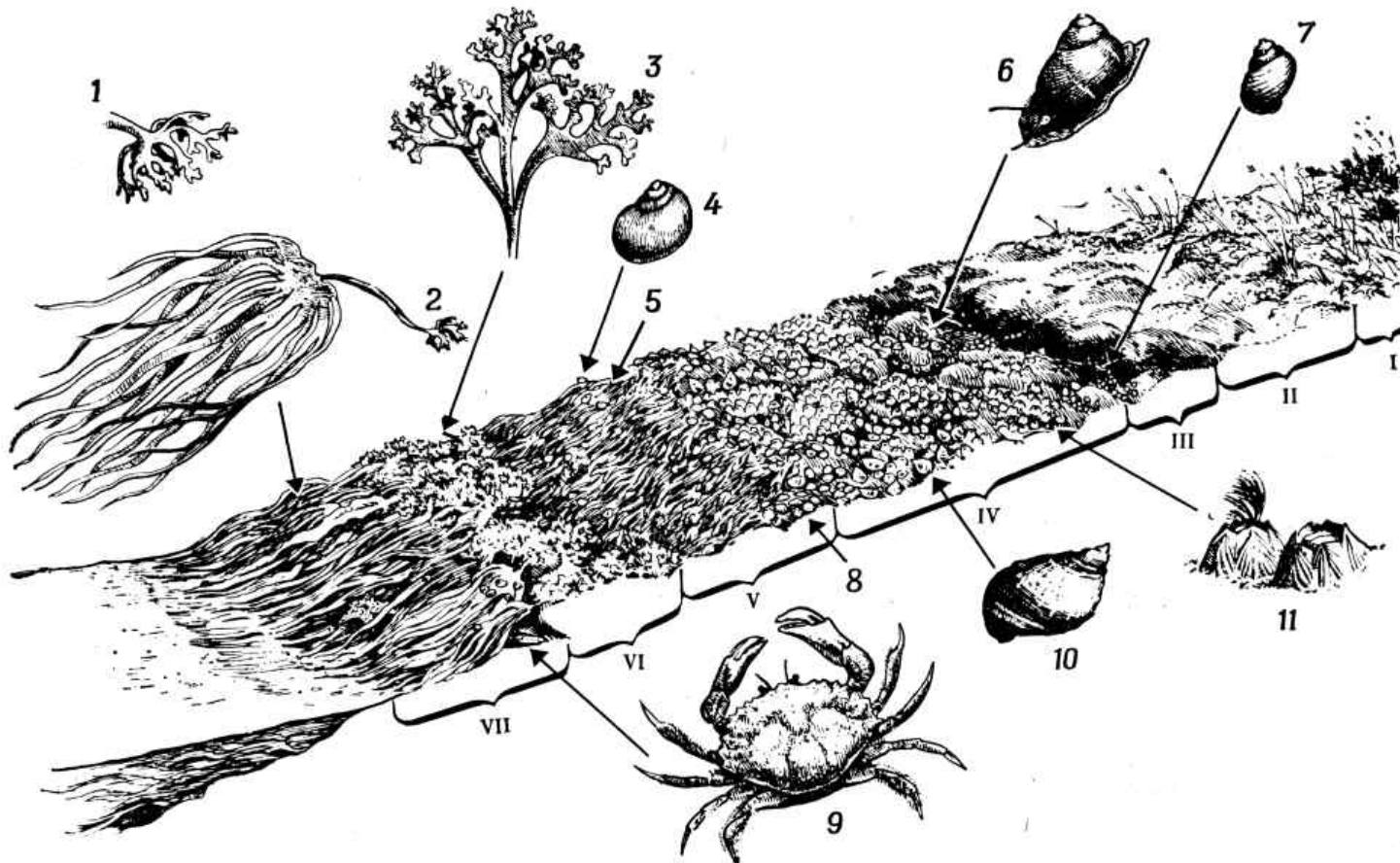


Рис. 627. Биотические зоны скалистого берега в северной части Атлантического океана.

I — суши (лишайники, травы и т. д.); II — голая скала; III — зона „черных“ водорослей и *Littorina rudis*; IV — зона усоногих раков (усоногие, багрянки, береговые улитки, литорини, мидии); V — зона фукусов (фукусы, *Littorina obtusata*); VI — зона хондруса (ирландский мох); VII — зона ламинарий. 1 — ризоиды ламинарий; 2 — ламинария; 3 — ирландский мох; 4 — *Littorina obtusata*; 5 — фукус; 6 — *Littorina littorea*; 7 — *Littorina rudis*; 8 — блюдечко; 9 — краб (*Cancer irroratus*); 10 — багрянка (*Purpura*); 11 — морские желуди.

# Литораль

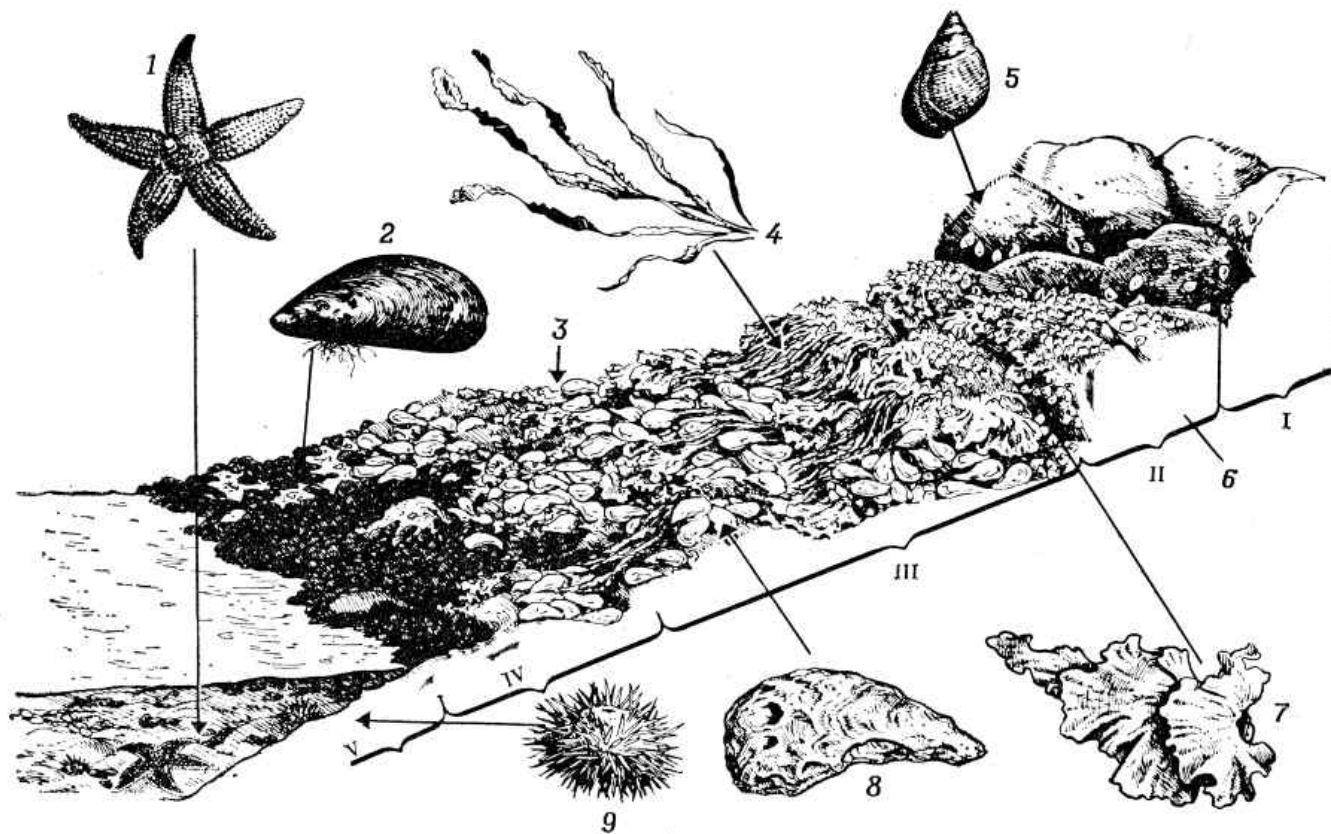
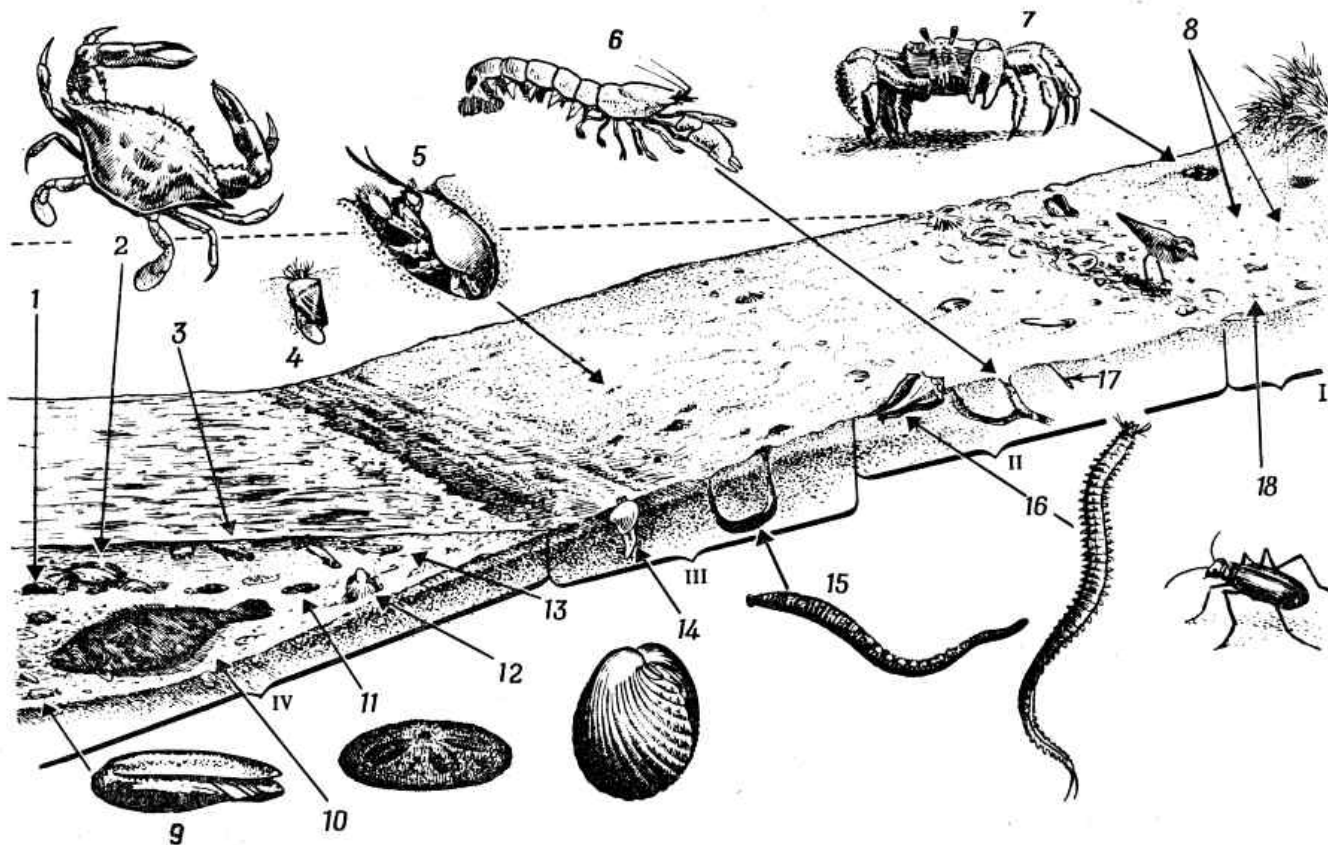


Рис. 628. Биотические зоны скалистого берега в средней части Атлантического океана.

I — голая скала; II — зона усоногих раков; III — устричная зона (устрицы, водоросли *Ulva*, *Enteromorpha* и *Porphyra*); IV — илистая зона (мидиевая банка); V — сублиторальная кайма (морские звезды и т. д.). Обратите внимание на отсутствие бурых водорослей. 1 — морская звезда; 2 — двустворчатый моллюск; 3 — *Porphyra*; 4 — *Enteromorpha*; 5 — „болотные литорины“; 6 — морские желуди; 7 — *Ulva* («морской салат»); 8 — устрица; 9 — морской еж.

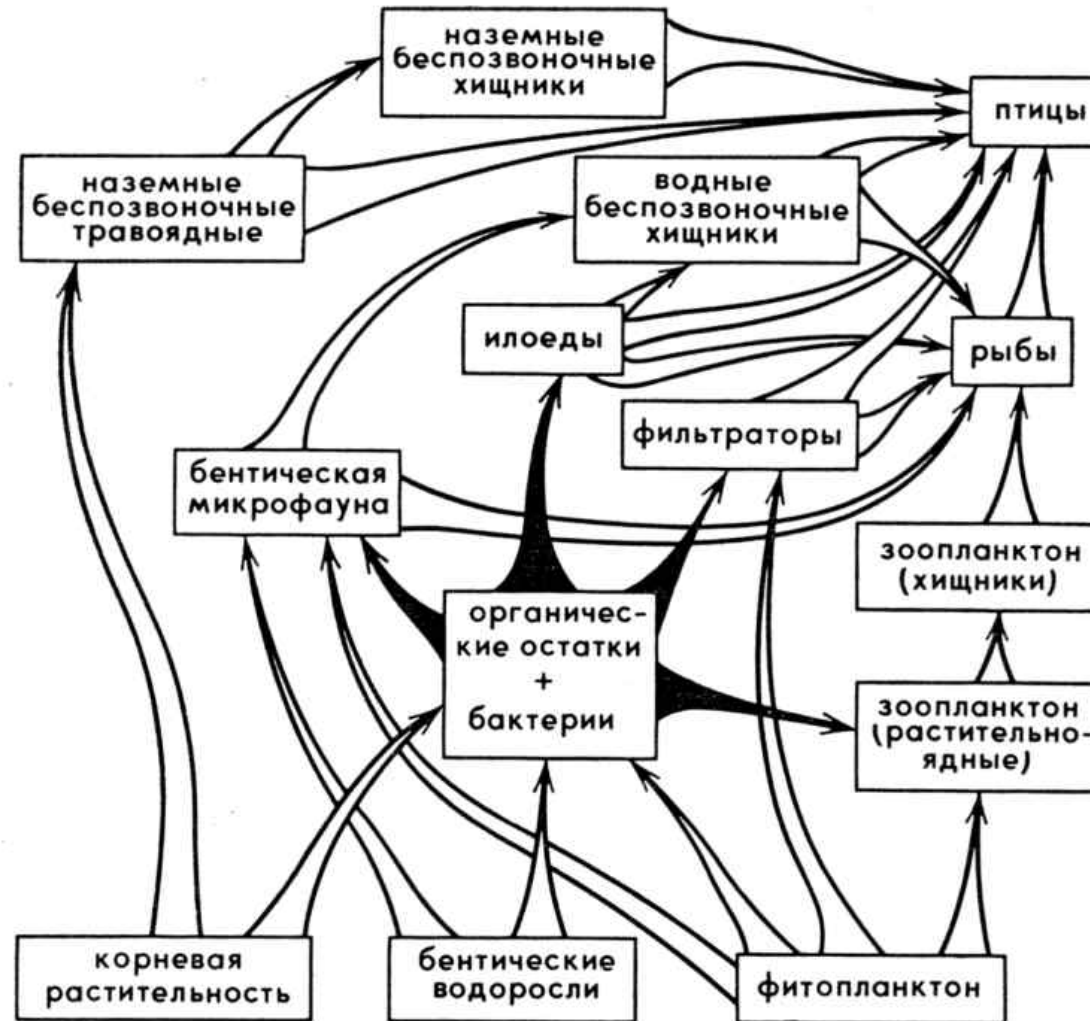
# Литораль



Жизнь на песчаном берегу Атлантического океана.

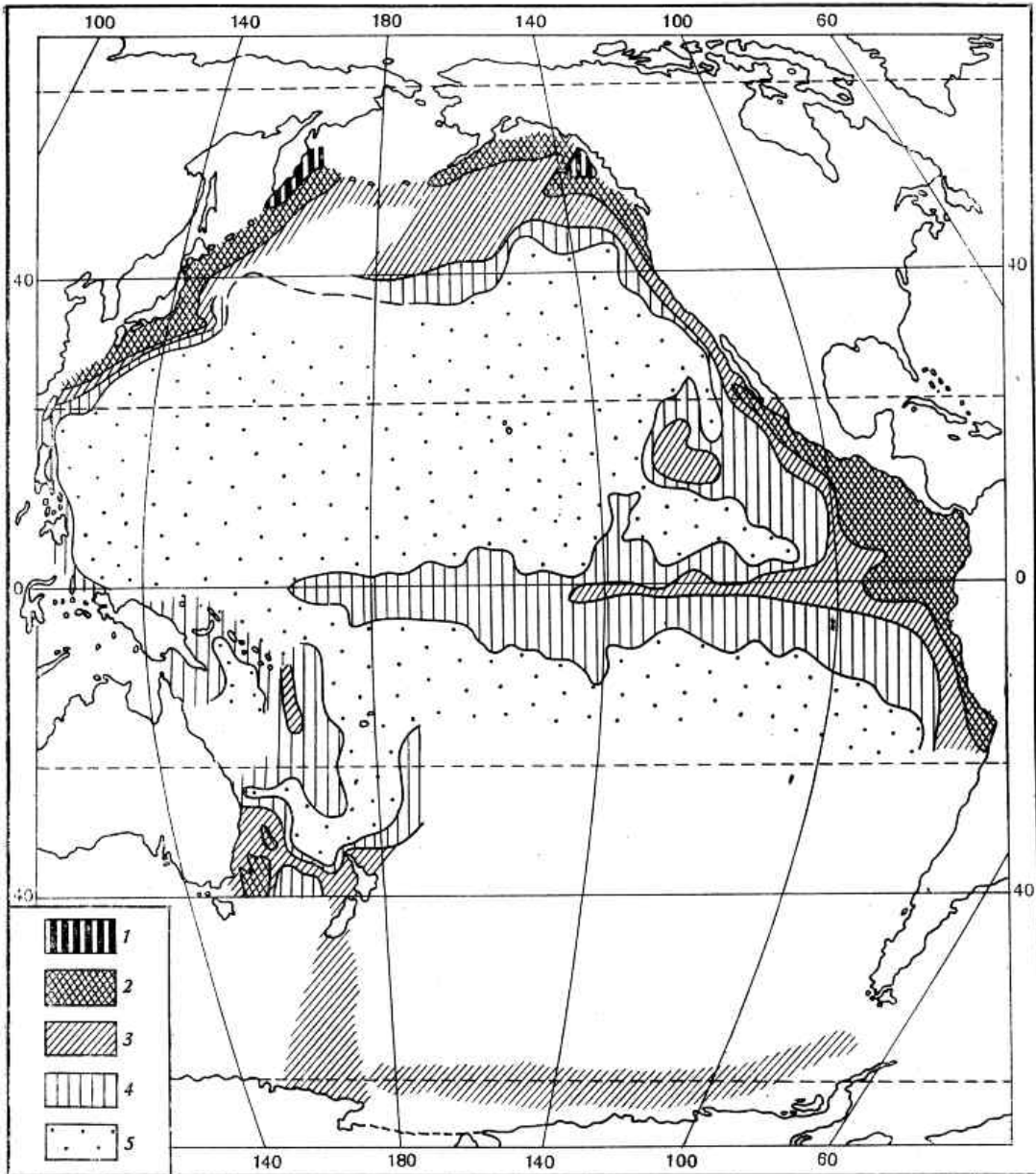
Хотя здесь нет четко выраженной зональности, состав сообщества постепенно изменяется по направлению от суши к морю. I — супралиторальная зона (крабы-привидения и песчаные блохи); II — выровненная песчаная зона (раки-козочки, щетинконогие черви, двустворчатые моллюски); III — собственно литоральная зона (двустворчатые моллюски, черви-пескожилы, ракчи *Emerita*); IV — сублиторальная зона. Пунктиром показан уровень прилива. 1 — голотурия; 2 — краб *Callinectes*; 3 — карпозубая рыба; 4 — *Donax*; 5 — рак *Emerita*; 6 — рак-козочка; 7 — краб-привидение; 8 — береговые скакуны; 9 — олива; 10 — камбала; 11 — морской еж *Echinorachnius*; 12 — сердцевидка; 13 — атериды; 14 — *Venus*; 15 — пескожил; 16 — щетинконогий червь; 17 — бокоплав; 18 — жук-скакун.

# Трофическая сеть эстуария



(Из Сафьянов, 1987)

© M. G. Sergeev, 2006



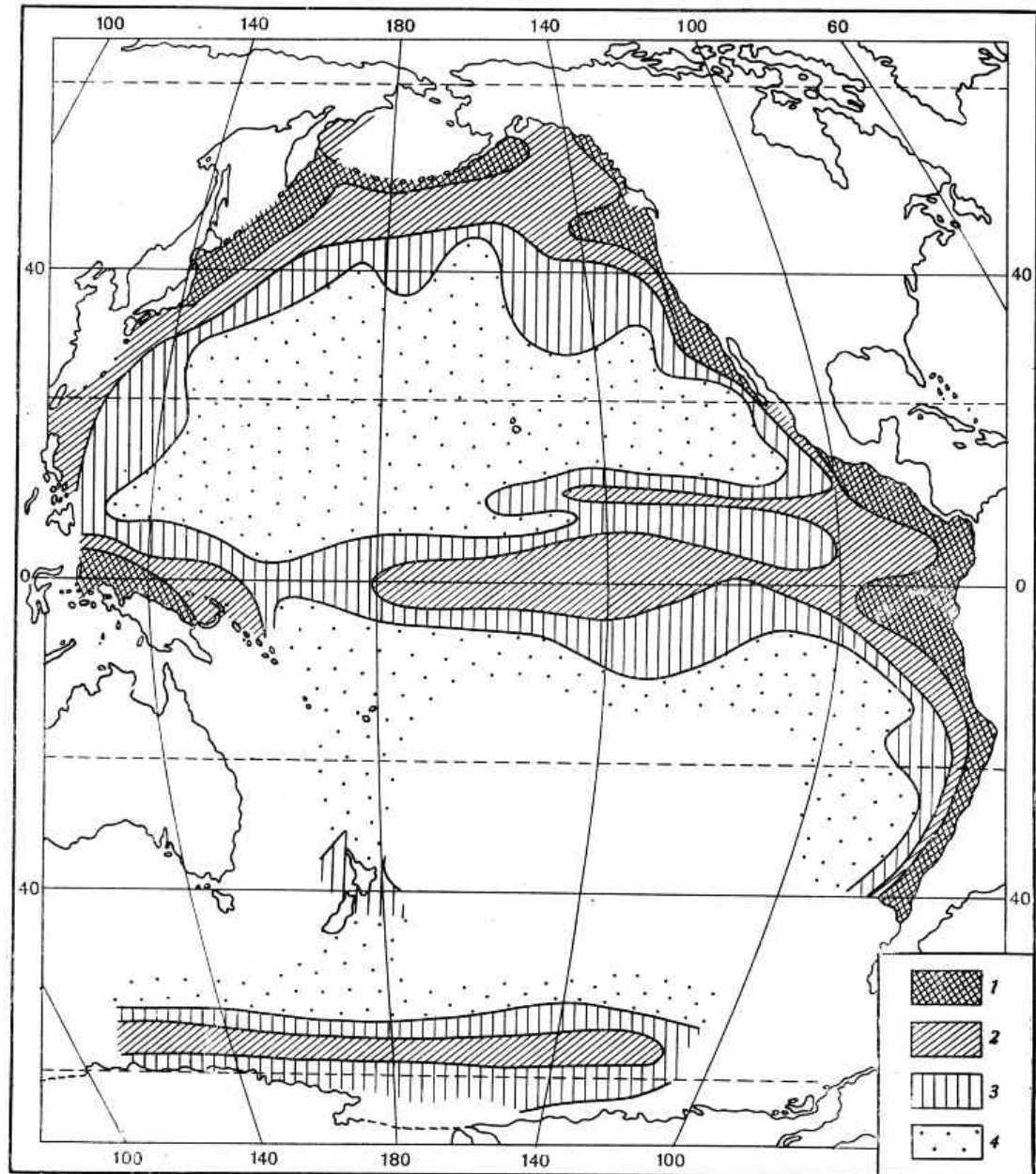
## Распределение первичной продукции в Тихом океане

**Рис. 2.** Распределение первичной продукции (в мг С/м<sup>3</sup>) в Тихом океане  
(по О. И. Кобленц-Мишке)

1 — 100/650; 2 — 100—18/650—290; 3 — 18—10/290—250; 4 — 10—3/250—135; 5 — 3—1/135—76.  
Дробью показана продукция на поверхности (числитель) и во всем столбе воды (знаменатель)

(Из Зенкевича, 1977) © M. G. Sergeev, 2006

## Распределение биомассы зоопланктона в Тихом океане

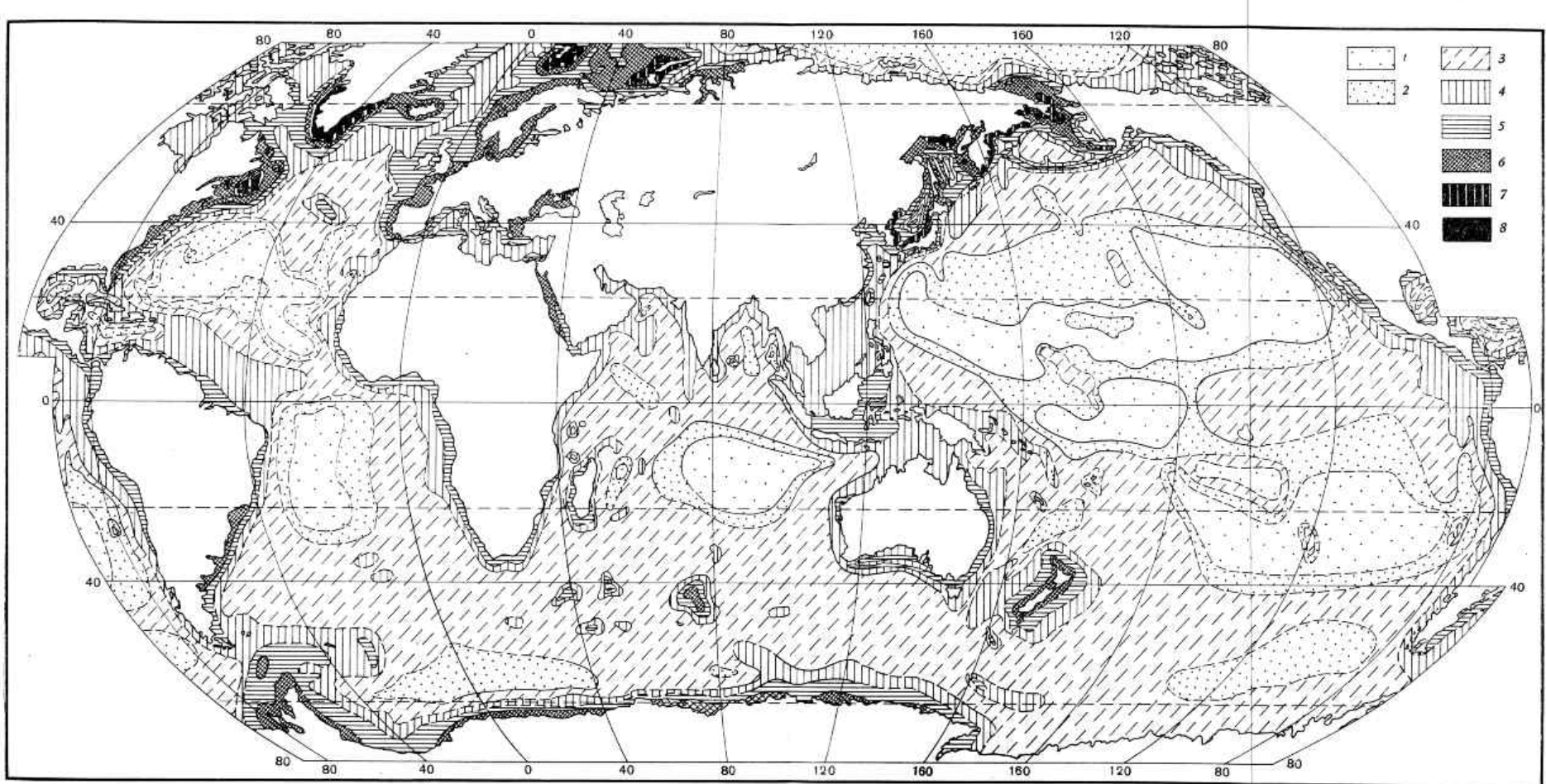


**Рис. 3.** Распределение биомассы зоопланктона (в мг/м<sup>3</sup>) в поверхностной зоне Тихого океана (составлено В. Г. Богоровым и М. Е. Виноградовым)

1 —  $>200$ ; 2 — 100—200; 3 — 50—100; 4 — <50

(Из Зенкевича, 1977) © M. G. Sergeev, 2006

# Распределение биомассы бентоса в Мировом океане

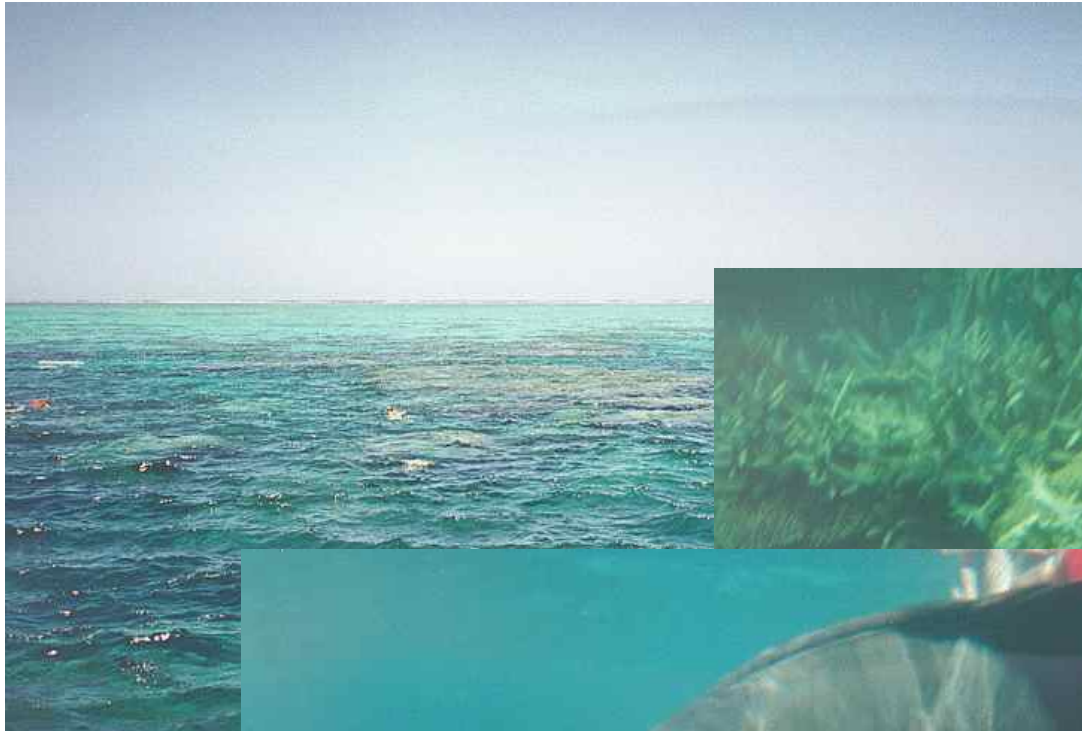


Распределение биомассы бентоса в Мировом океане (в г/м<sup>2</sup>)

1 —  $<0,05$ ; 2 —  $0,05-0,1$ ; 3 —  $0,1-1,0$ ; 4 —  $1,0-10$ ; 5 —  $10-50$ ; 6 —  $50-300$ ; 7 —  $300-1000$ ;  
8 —  $>1000$ ; сплошные линии изобенты, обоснованные фактическим материалом; пунктир —  
предположительно

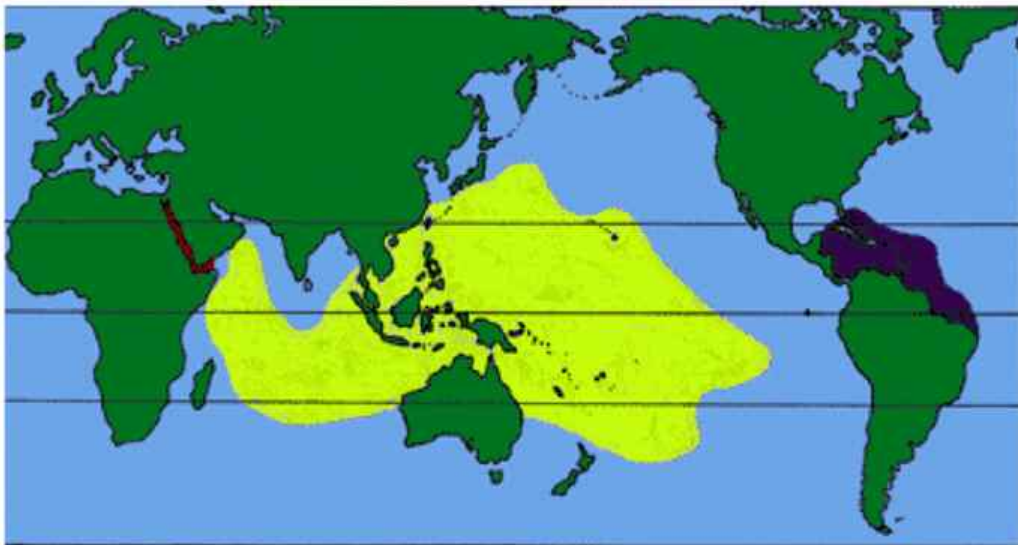
Л. А. Зенкевич, т. II

# Коралловые рифы



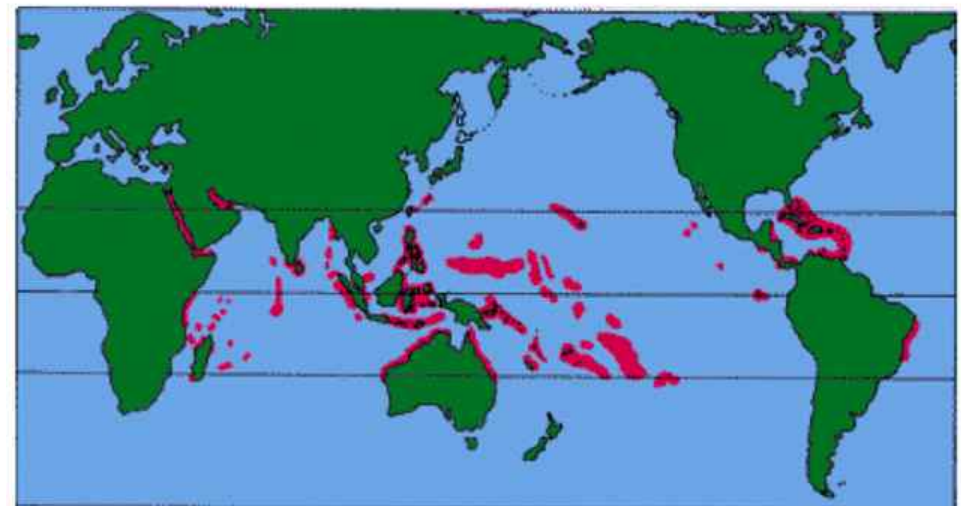
© M. G. Sergeev, 2006

# Коралловые рифы



Coral Reef Regions of the World

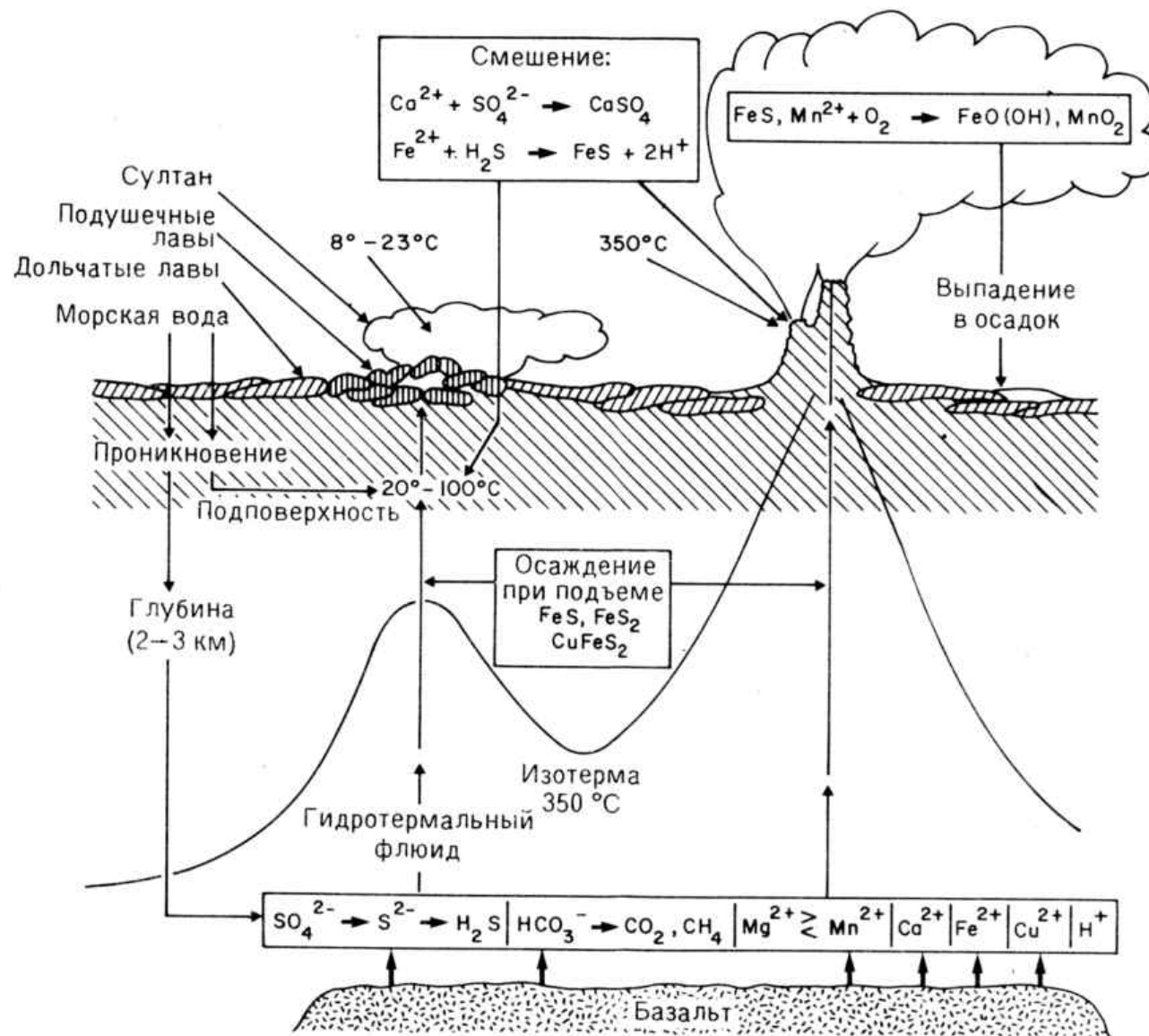
- █ Indo-Pacific
- █ Red Sea
- █ Western Atlantic



Coral Reef Hotspots Around the World

<http://www.reefrelief.org/Coral%20Forest/map.shtml>

# Глубоководные экосистемы с хемосинтезирующими продуцентами



# Глубоководные экосистемы с хемосинтезирующими продуцентами

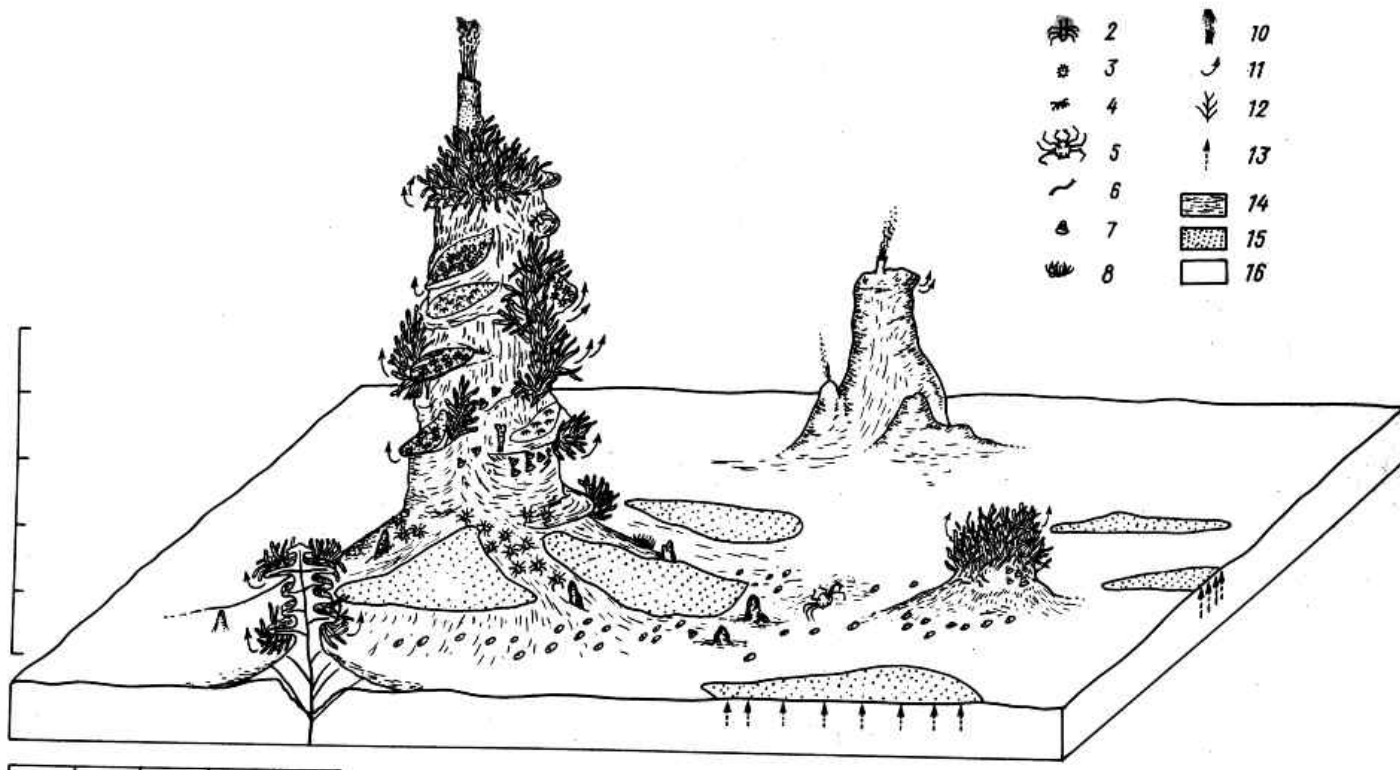


Рис. 4. Дно котловины Гуаймас Калифорнийского залива (глубина 2000 м). Распределение фауны в зоне гидротермальных построек.

1 — Vestimentifera: Riftia pachyptila; 2 — Decapoda: Anomura: Galatheidae: Munidopsis alvisca; 3 — Coelenterata: Anthozoa: Actiniaria; 4 — Polychaeta: Alvinellidae: Paralvinella grassei; 5 — Decapoda: Anomura: Lithodidae: Neolithodes diomedae; 6 — Polychaeta: Sedentaria: fam. sp. (в илистых трубках); 7 — Gastropoda: Littorinoidea: Provanna goniata; 8 — Astroidea: Brislingidae; 9 — Bivalvia: Vesicomyidae: Calyptogena sp.; 10 — дым черного курильщика; 11 — сочение флюида; 12 — поступление флюида; 13 — диффузное просачивание флюида; 14 — гидротермальные отложения; 15 — бактериальные маты; 16 — алевритово-пелитовый ил.

## Глубоководные экосистемы с хемосинтезирующими продуцентами

Рис. 3. Гора Осевая хребта Хуан-де-Фука. Фаунистические ассоциации зоны гидротермальной активности. Слева — ассоциация калингоген, справа — вестиментифер. Стрелки — место истечения флюида. В дополнение к набору фауны на рис. 2 в ассоциации калингоген изображена креветка (точное определение не проведено), а в ассоциации вестиментифер — полихета из семейства Ampharetidae — *Amphisatumtha galapagensis* (на трубках вестиментифер и вдоль щелей в базальте). Трубки вестиментифер и край трещины в базальте покрыты бактериальным обрастием.



# Глубоководные экосистемы с хемосинтезирующими продуцентами



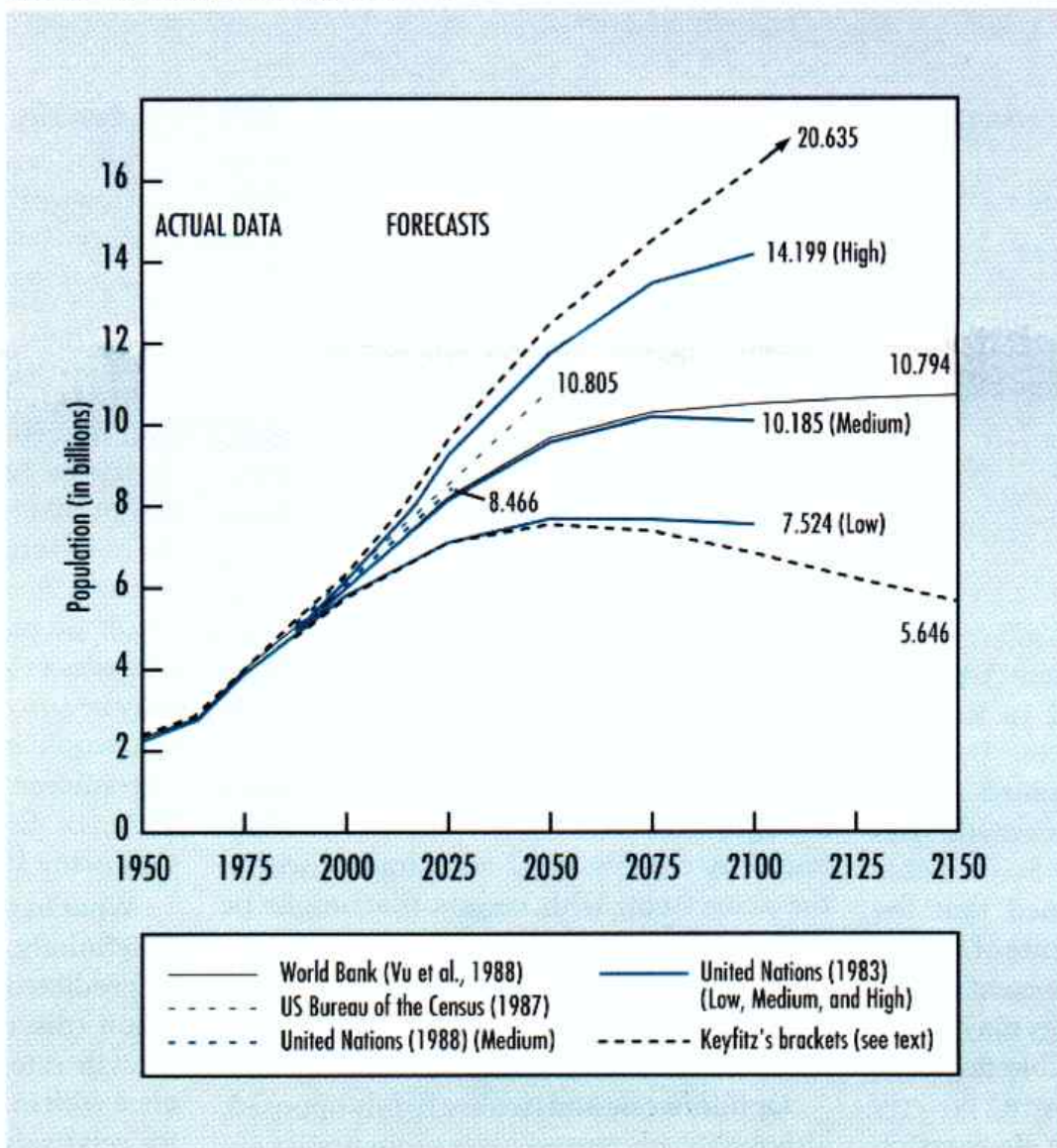
(Из Лобье, 1990)

© M. G. Sergeev, 2006

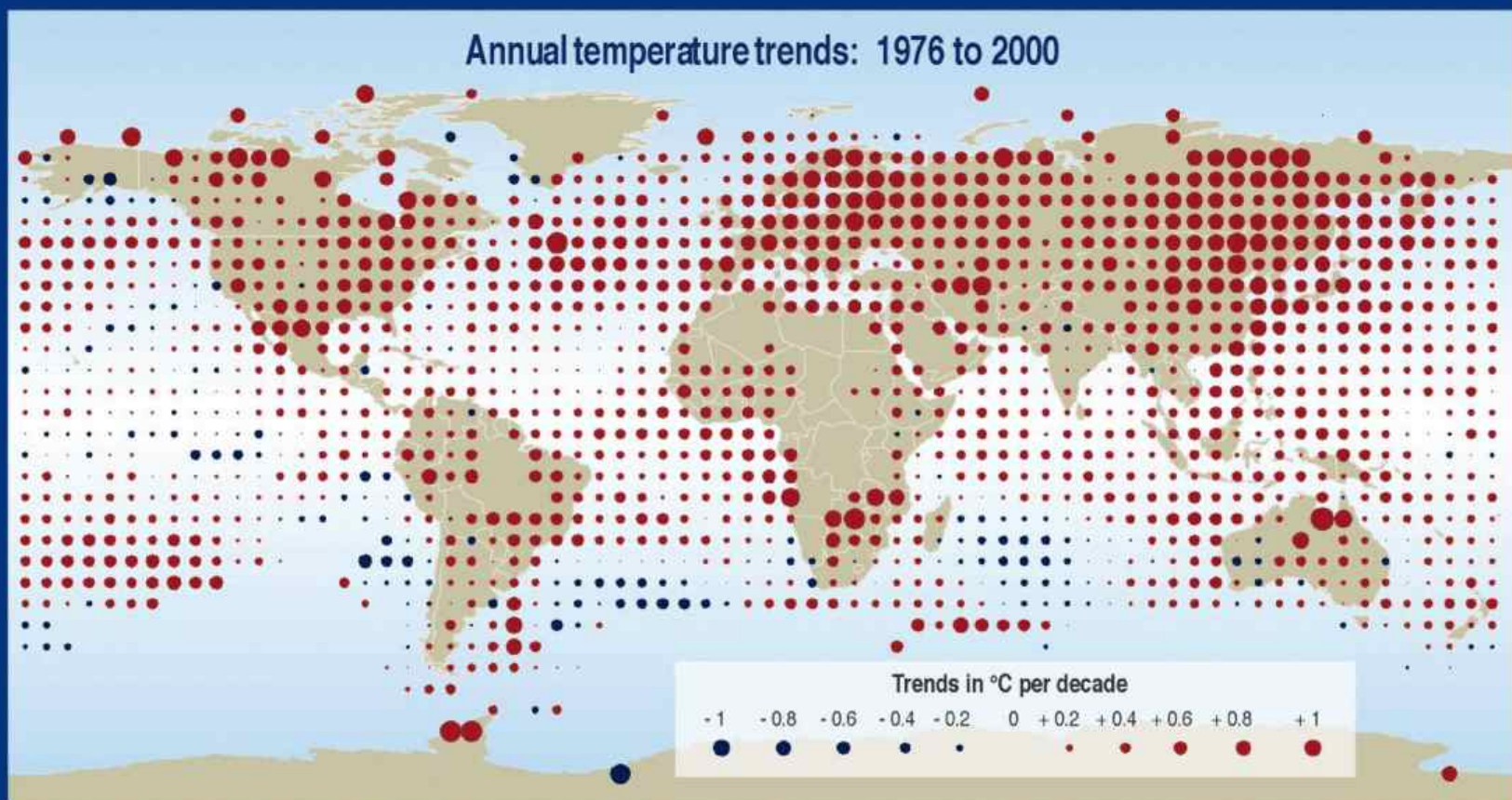
# Экология и современные проблемы человечества

# Разные прогнозы роста численности людей

WORLD POPULATION PROJECTIONS



Source: from R.D. Lee, 1991, "Long-run global population forecasts: a critical appraisal" in Davis, K. and Bernstam, M.S., (eds.), 1991. Resources, environment, and population: present knowledge, future options, The Population Council, New York and Oxford: New York and Oxford University Press.



SYR - FIGURE 2-6b

IPCC

INTERGOVERNMENTAL PANEL ON CLIMATE CHANGE





© M. G. Sergeev, 2006

# Естественные изменения климата за последние 16 000 лет

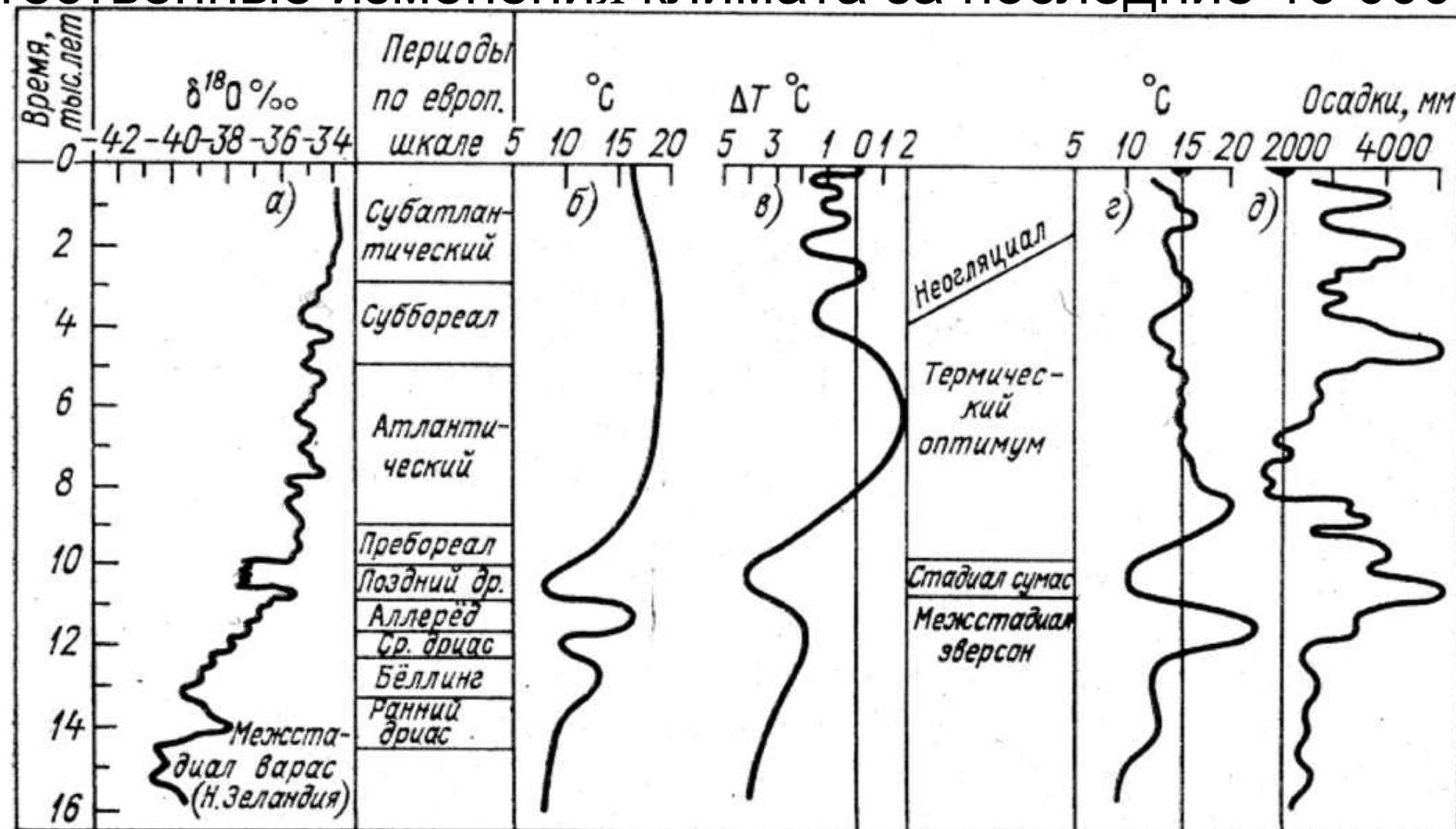
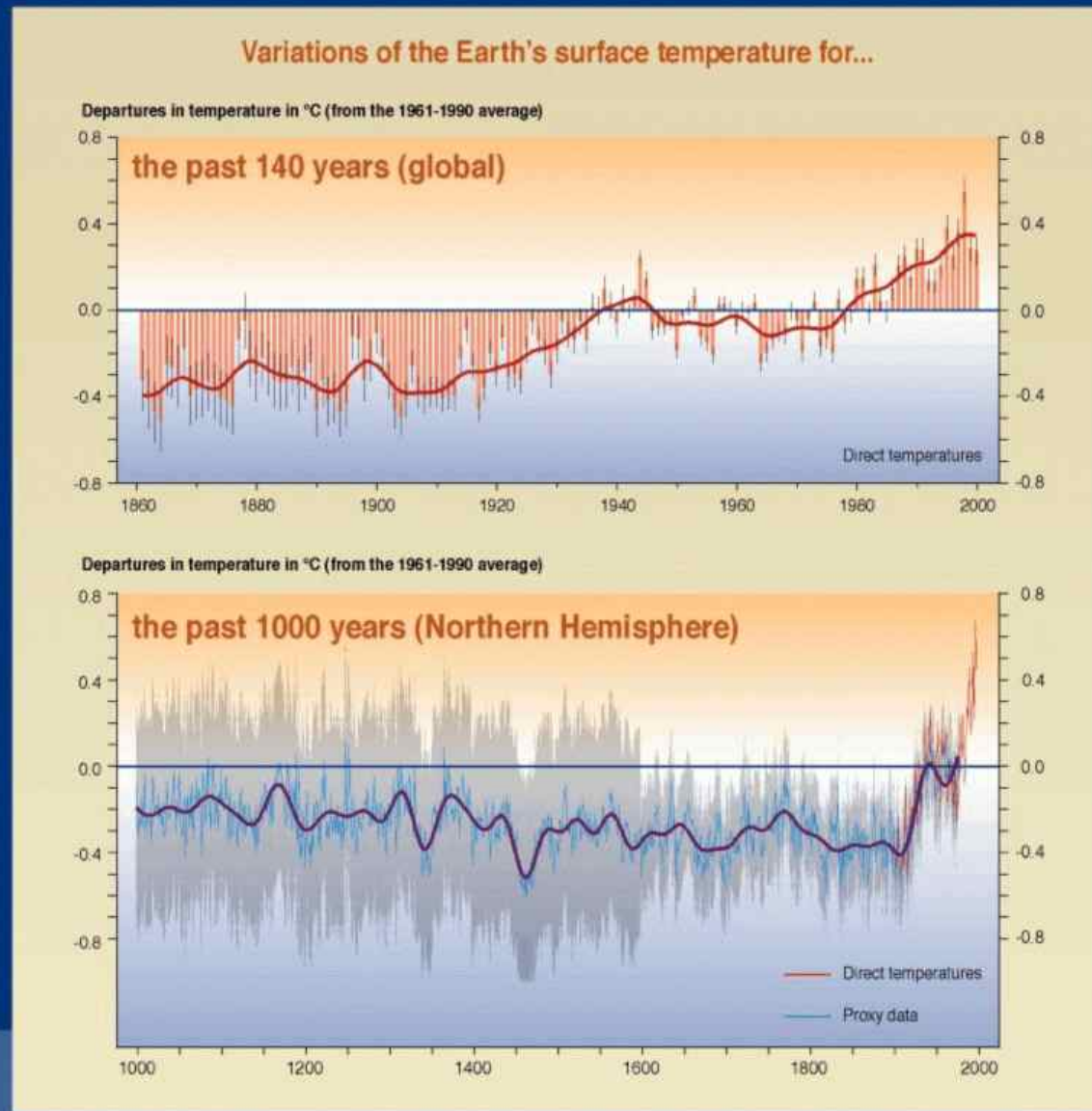


Рис. 6.2. Корреляция климатических событий в высоких и умеренных широтах северного и южного полушарий на протяжении последних 16 тыс. лет.

*а* — изотопно-кислородная кривая скв. Бэрд (Антарктида), по Мерсеру [299]; *б* — температура воздуха в июле в Северо-Западной Европе, по Ван Хаммену и др. [341]; *в* — отклонение июльской температуры воздуха от современной (Северная Америка, шт. Вашингтон) по [244]; *г* — температура воздуха в январе по палинологическим данным скв. Алерке (Южные районы Чили) [246]; *д* — средняя годовая сумма атмосферных осадков по данным той же скважины [246]. Вертикальные линии на графиках *г* и *д* соответствуют современным значениям температуры и осадков.

(По Зубакову, Борзенковой)



SYR - FIGURE 2-3